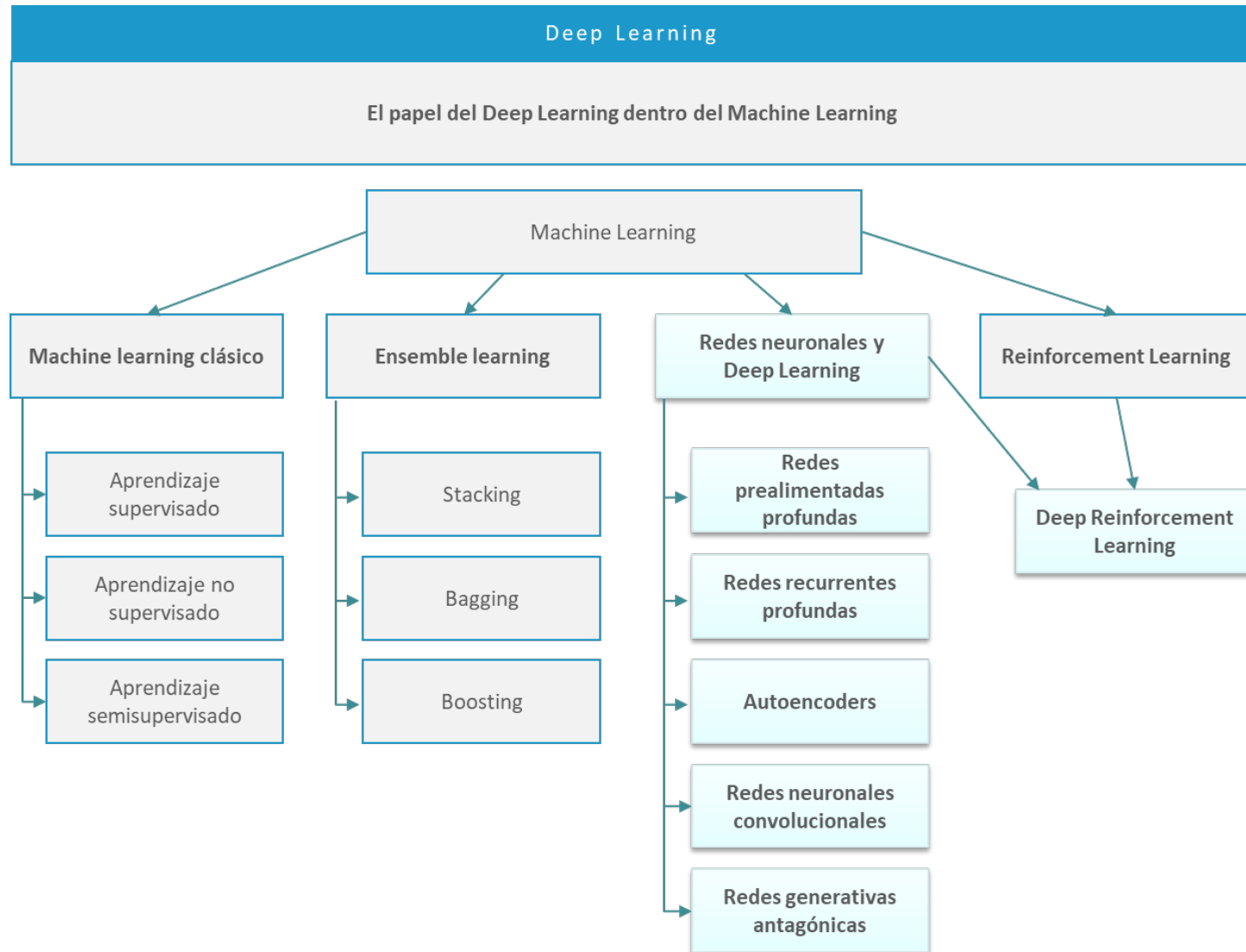


## Tema 6. Deep Learning

# Contenidos

- ▶ [6.2] Introducción
- ▶ [6.3] El papel del *Deep Learning* dentro del *Machine Learning*
- ▶ [6.4] Redes neuronales y *Deep Learning*
- ▶ [6.5] Redes prealimentadas profundas
- ▶ [6.6] Redes neuronales recurrentes profundas
- ▶ [6.7] *Autoencoders*
- ▶ [6.8] Redes neuronales convolucionales
- ▶ [6.9] Redes generativas antagónicas
- ▶ [6.10] Aprendizaje por refuerzo
- ▶ [6.11] Aprendizaje por refuerzo profundo
- ▶ [6.12] Ejemplos de implementación
- ▶ [6.13] Referencias bibliográficas

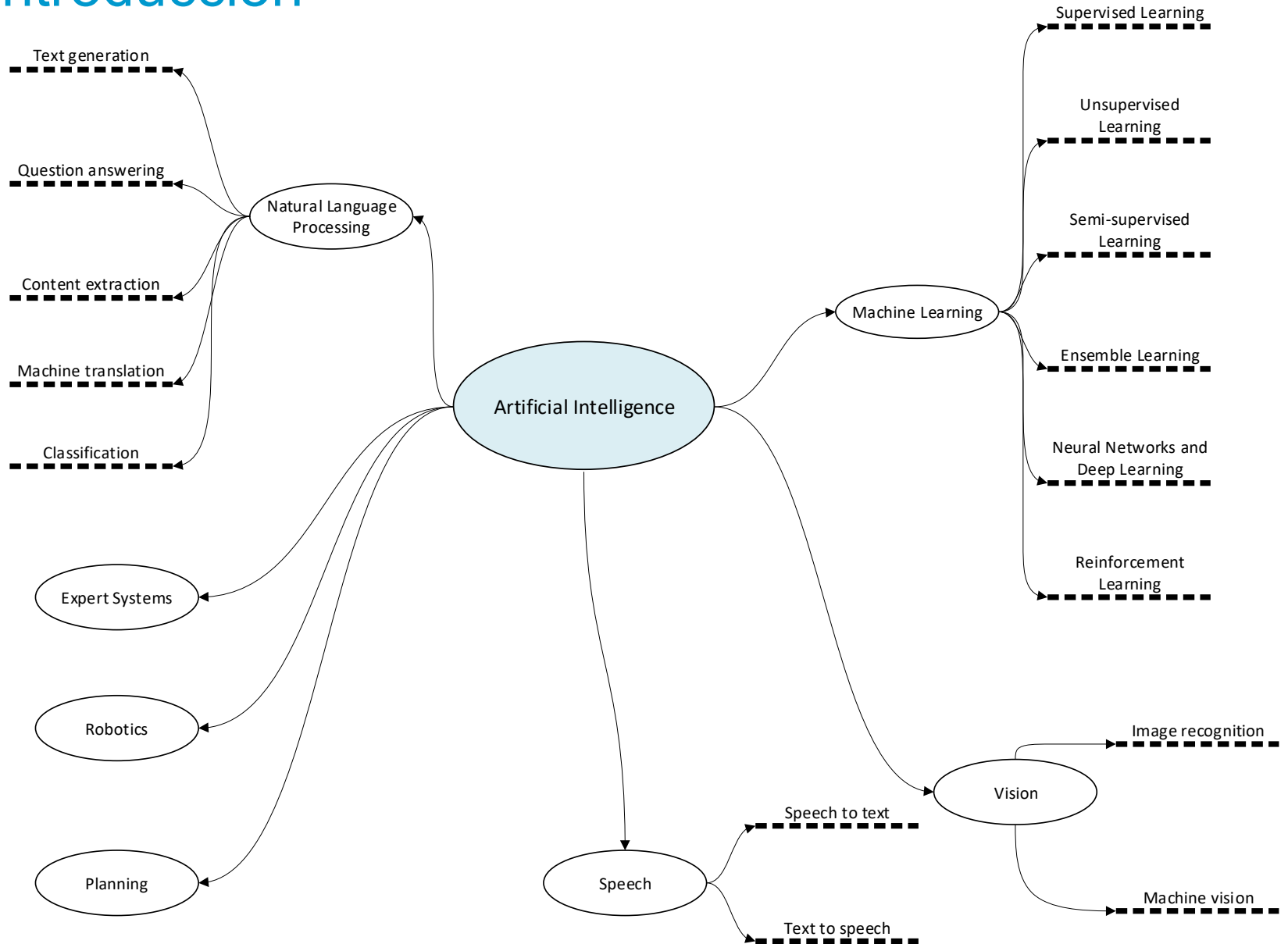
# Esquema



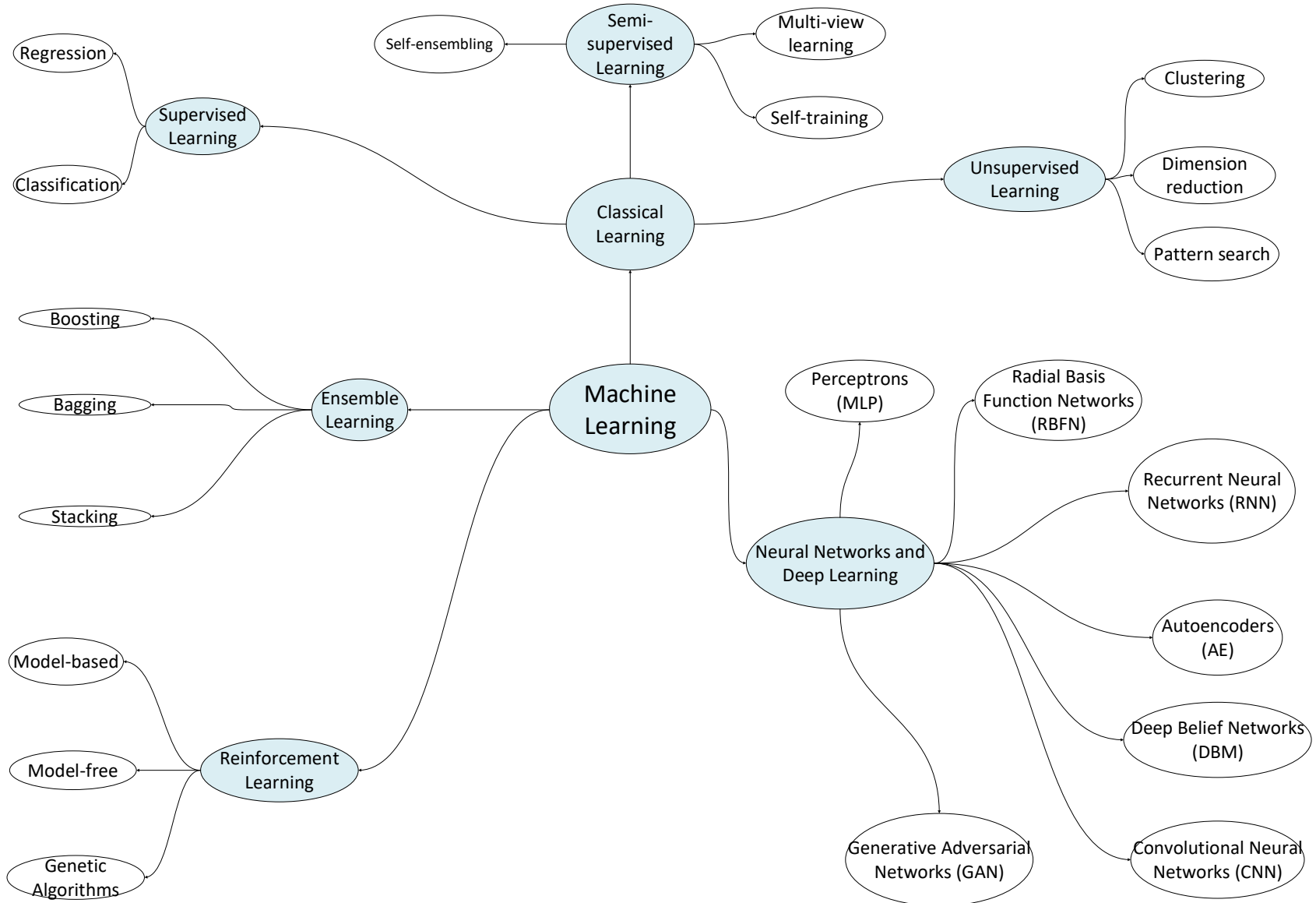
# Objetivos

- ▶ Entender el lugar que ocupa el **Deep Learning** dentro del Machine Learning y éste dentro de la Inteligencia Artificial.
- ▶ Conocer la **taxonomía de los principales grupos de Redes Neuronales Profundas** y sus principales aplicaciones.
- ▶ Comprender los fundamentos básicos del **Reinforcement Learning** y del **Deep Reinforcement Learning**.
- ▶ Identificar **aplicaciones prácticas** del Deep Learning y del Deep Reinforcement Learning.
- ▶ Iniciarte en la aplicación de técnicas Deep Learning sobre datasets de pruebas utilizando Python y **TensorFlow**.

# Introducción



# Deep Learning dentro del Machine Learning



# Redes Neuronales y Deep Learning

- ▶ Perceptrón inventado por Rosenblatt en 1958
- ▶ A finales de los 60 se abandonó el conexionismo en favor del razonamiento simbólico
- ▶ A finales de los 70 termina el primer invierno de la IA
- ▶ Años 80: invención de la retropropagación y aparición de sistemas expertos
- ▶ Finales de los 80 y principios de los 90: segunda invierno de la IA, primeras menciones a Deep Learning (1986)
- ▶ Años 90: agentes inteligentes y machine learning basado en métodos estadísticos

# Redes Neuronales y Deep Learning

- ▶ ¿Por qué el éxito actual?
- ▶ Actualmente gran capacidad de computación usando CPU, GPU e incluso nuevas TPU en el cloud y el edge
  - Especialización en operaciones con tensores
- ▶ Además, contamos con gran capacidad y técnicas de almacenamiento antes no disponibles
  - NoSQL, Big Data, etc.



# Deep Learning

- ▶ Se puede definir el **aprendizaje profundo** o ***Deep Learning*** como una clase de algoritmos de aprendizaje automático que utiliza **múltiples capas** para **extraer progresivamente características de nivel superior de la entrada bruta**.
- ▶ Esto incluye, por tanto, **una cascada de capas conectadas entre sí con unidades de procesamiento no lineal en cada una de las capas**.
- ▶ De este modo, las primeras capas (inferiores) se corresponden con niveles de abstracción menor, mientras que las últimas capas (superiores) se basan en las anteriores para formar una **representación jerárquica de conceptos**.

# Deep Learning

- ▶ En Machine Learning: Busca un buen **preprocesamiento** para tener una buena representación de los objetos en un vector de características.
- ▶ En **Deep Learning**: Busca directamente la red para que realice la extracción de características (detectadas en una serie de capas de procesamiento).
- ▶ Puede entenderse como tener preprocesamiento y procesamiento en la misma red – Múltiples redes

# Deep Learning



Fuente de las imágenes: Raúl Arrabales

# Deep Learning

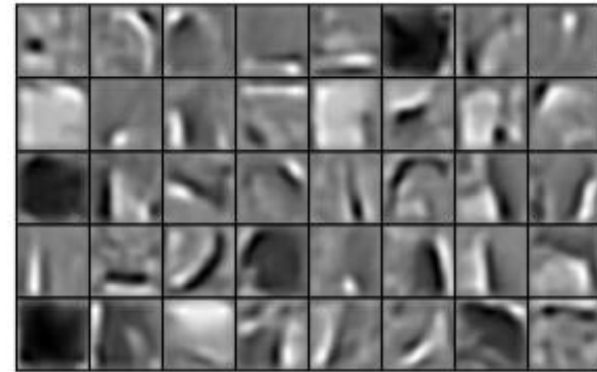
faces



cars



elephants

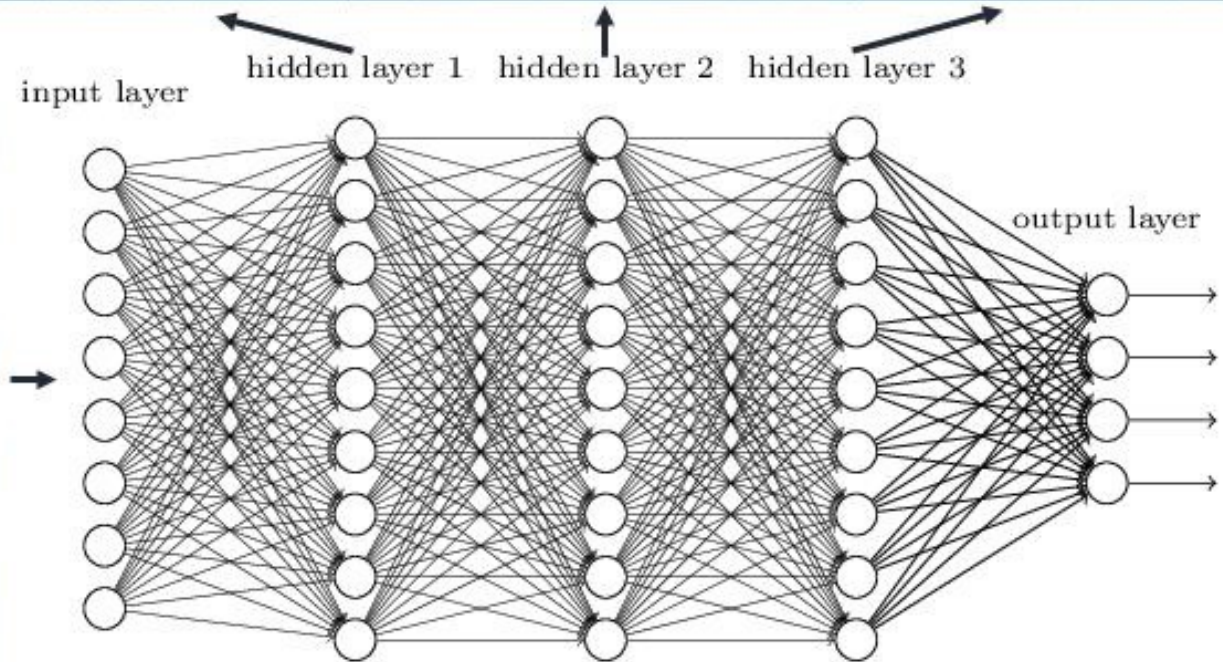


Fuente de las imágenes: Raúl Arrabales

# Deep Learning

- ▶ Jerarquía en las características

Deep neural networks learn hierarchical feature representations



Fuente de las imágenes: Raúl Arrabales

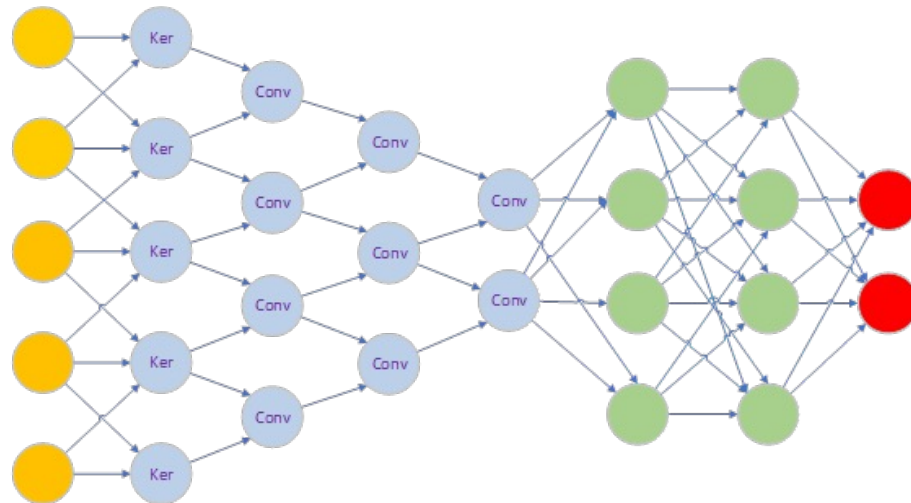
# Deep Learning

- ▶ Estrategias de entrenamiento:
  - Muchos parámetros de configuración – **hiperparametrización**.
  - Dificultad para explorar todo el espacio posible de configuraciones, aliviado con GPU, TPU, NPU y computación vectorial.
  - Opciones:
    - Tipo de variables, escalado, etc.
    - Tipo de red.
    - Número de nodos y capas ocultas.
    - Tipo de capas.
    - Inicialización de los pesos (relu, Xavier).
    - Función de activación, umbral, etc. (tangente hiperbólica, sigmoideal, relu, etc.).
    - Función de pérdida (entropía, error cuadrático medio, etc.)
    - Normalización de datos ( $[0,1]$ ,  $[-1,1]$ ).
    - Algoritmo de optimización (descenso del gradiente, Adam, etc.)
    - Tasa de aprendizaje.
    - Epochs y batches.



## Ejemplo: redes convolucionales

- ▶ Por ejemplo, en el procesamiento de imágenes empleando **redes convolucionales**, como veremos más adelante:
  - las **primeras capas (también llamadas inferiores)** pueden identificar los **bordes**,
  - mientras que las **capas finales (también llamadas superiores)** pueden identificar los **conceptos relevantes para un humano**, como los dígitos o las letras o las caras.



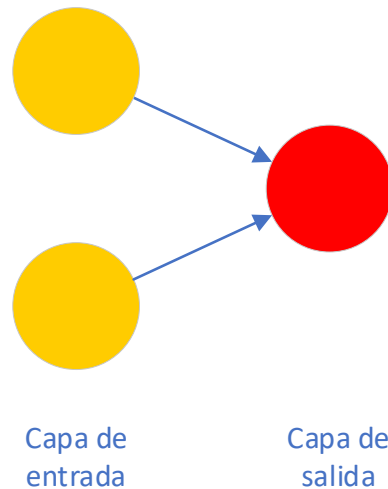
# Redes más relevantes

- ▶ **Redes prealimentadas (*Feedforward networks*)** y redes prealimentadas profundas (*Deep Feedforward Networks*).
- ▶ **Redes Neuronales Recurrentes (RNN – *Recurrent Neural Networks*)** y Redes Recurrentes Profundas (*Deep Recurrent Networks*).
- ▶ ***Autoencoders* (AE).**
- ▶ **Redes Neuronales Convolucionales (CNN – *Convolutional Neural Networks*).**
- ▶ **Redes Generativas Antagónicas (GAN – *Generative Adversarial Networks*).**



# Redes prealimentadas (Feedforward Networks)

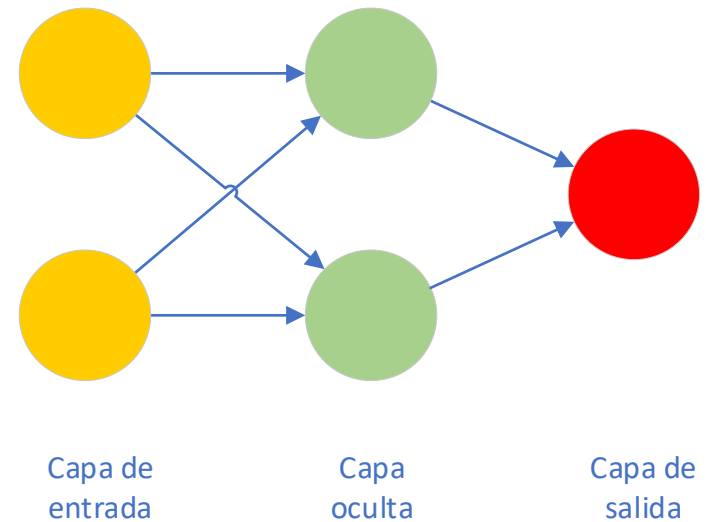
- ▶ Todas las neuronas de una capa están conectadas con todas las neuronas de la capa siguiente, no existe conexiones entre neuronas de la misma capa y no existe retroalimentación
- ▶ **Perceptrón** (Rosenblatt, 1958): discriminador lineal



# Redes prealimentadas (Feedforward Networks)

## ► Perceptrón Multicapa (MLP)

- Funciones de activación: sigmoideal (logística, tangente hiperbólica, etc.)
- Método de retropropagación, regla del gradiente del error
- Aplicaciones
  - Clasificadores
  - Reconocimiento del habla
  - Reconocimiento de imágenes
  - Traducción automática
  - Etc.
- Sustituidos por las SVM
  - Mayor simplicidad en determinadas aplicaciones

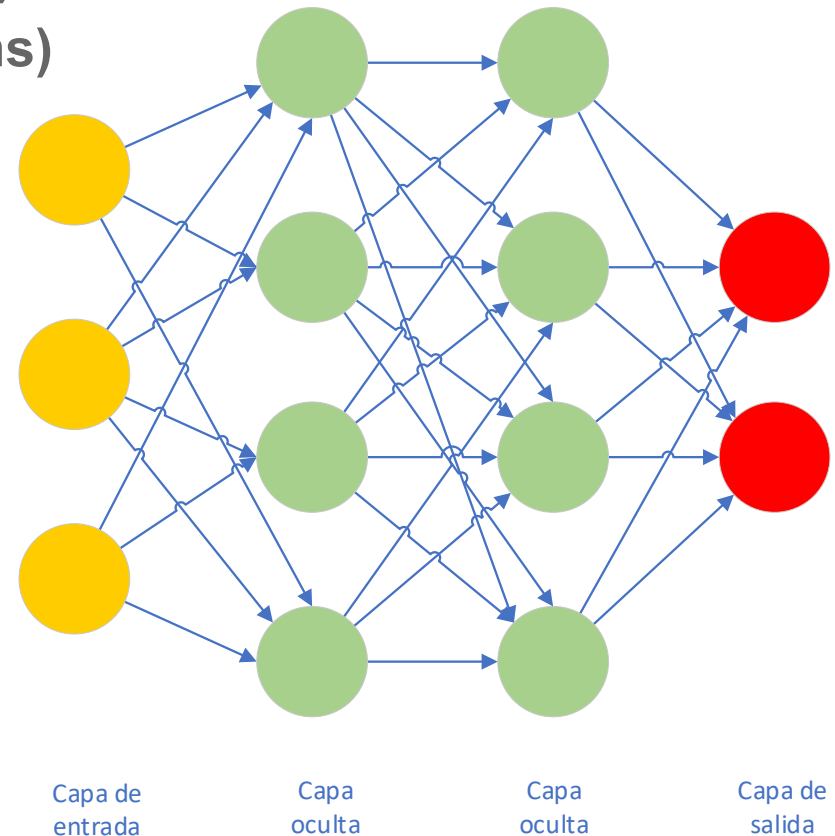


Breve introducción a SVM:

<https://towardsdatascience.com/https-medium-com-pupalerushikesh-svm-f4b42800e989>

# Redes prealimentadas (Feedforward Networks)

- ▶ **Deep Feedforward Networks**
  - Algoritmos de retropropagación modificados
  - MLP (Multilayer Perceptron)
  - RBF (Radial Basis Functions)
    - Funciones de activación:
    - $\phi(r) = r = ||X_j - X_k||$
    - $\phi(r) = e^{-(\epsilon r)^2}$



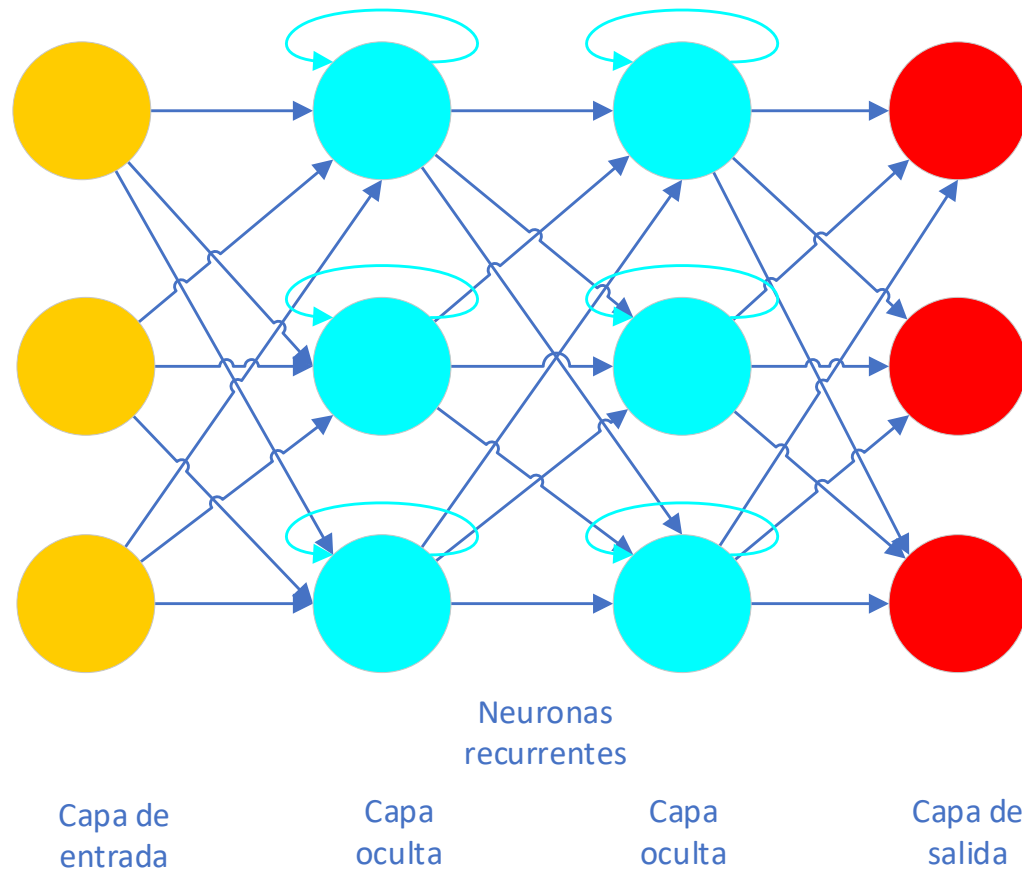
# Redes neuronales recurrentes profundas

## ► Redes Neuronales Recurrentes

- Problemas relacionados con el lenguaje
- Voz
- Música
- Datos secuenciales
- Traducción automática
- Genómica
- Proteómica
- Reconocimiento de voz
- Síntesis de voz
- Asistentes conversacionales
- Autocompletado de textos y voz

# Redes neuronales recurrentes profundas

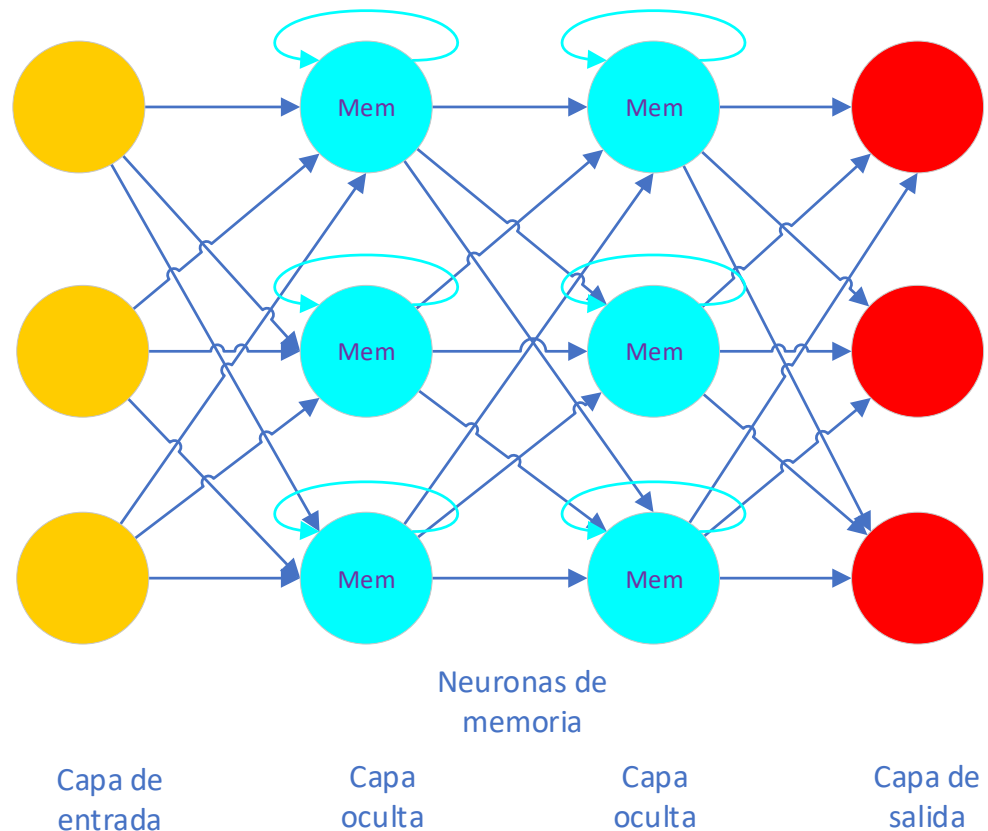
## ► Redes Neuronales Recurrentes



# Redes neuronales recurrentes profundas

## ► LSTM (Long and Short Term Memories)

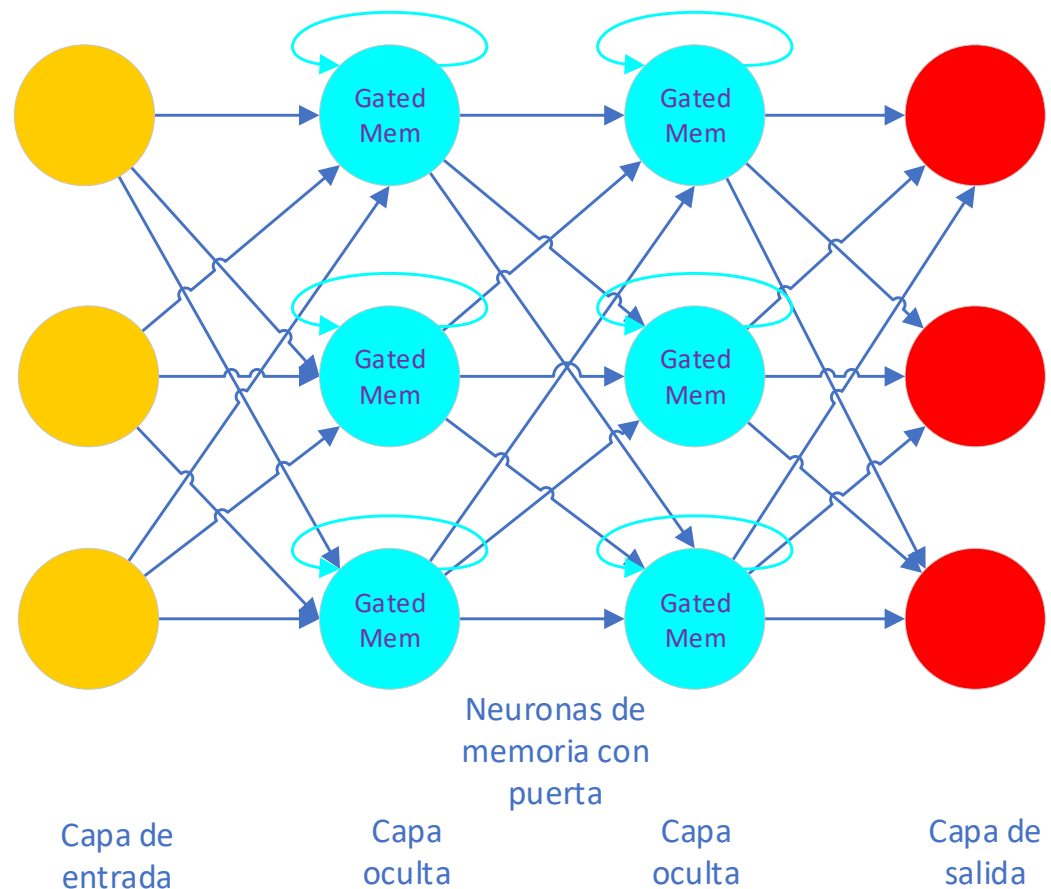
- Mejoran el concepto de RNR
- Celdas especiales, valor puede ser almacenado, leído o restablecido, mediante puertas de entrada, salida y olvido



# Redes neuronales recurrentes profundas

## ► Gated Recurrent Units (GRU)

- Células de memoria sólo tienen una puerta de actualización y una puerta de reajuste
- Mejor rendimiento computacional que LSTM
- Ligeramente menos expresivos



# Redes neuronales recurrentes profundas

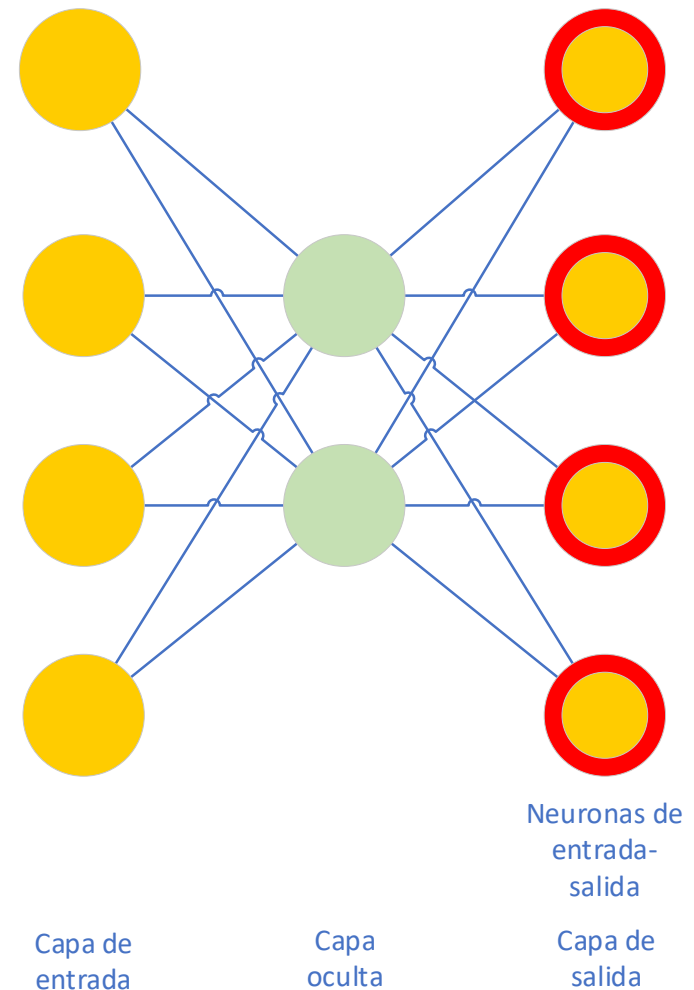
- ▶ **Redes neuronales bidireccionales recurrentes (BiRNN)**
- ▶ **Redes bidireccionales de memoria a largo y corto plazo (BiLSTM)**
- ▶ **Unidades bidireccionales de puerta recurrente (BiGRU)**
- ▶ **No sólo están conectadas al pasado, sino también al futuro**
- ▶ Tienen células de entrada y salida de correspondencia en lugar de células de salida y pueden ser entrenadas no sólo para completar los datos al final de una secuencia (final de palabra o imagen), sino para completar datos en medio de dichas secuencias (huecos en medio de palabras o imágenes).



# Autoencoders (AE)

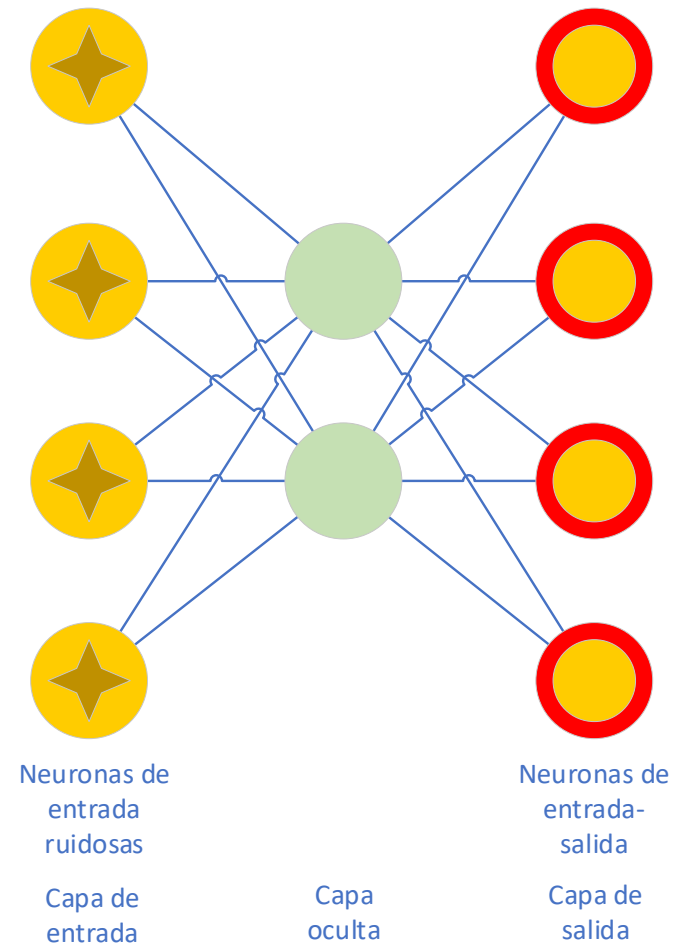
- ▶ **Redes neuronales simétricas con forma de reloj de arena**

- ▶ Capas ocultas más pequeñas que capas de entrada y salida
- ▶ La capa o capas medias (depende de si número de capas impar o par) es el código, existe simetría alrededor de él
- ▶ De la entrada al código, codifican
- ▶ Del código a la salida, decodifican
- ▶ Compresión de imágenes, reducción dimensionalidad, generación imágenes, sistemas recomendación



# Autoencoders (AE)

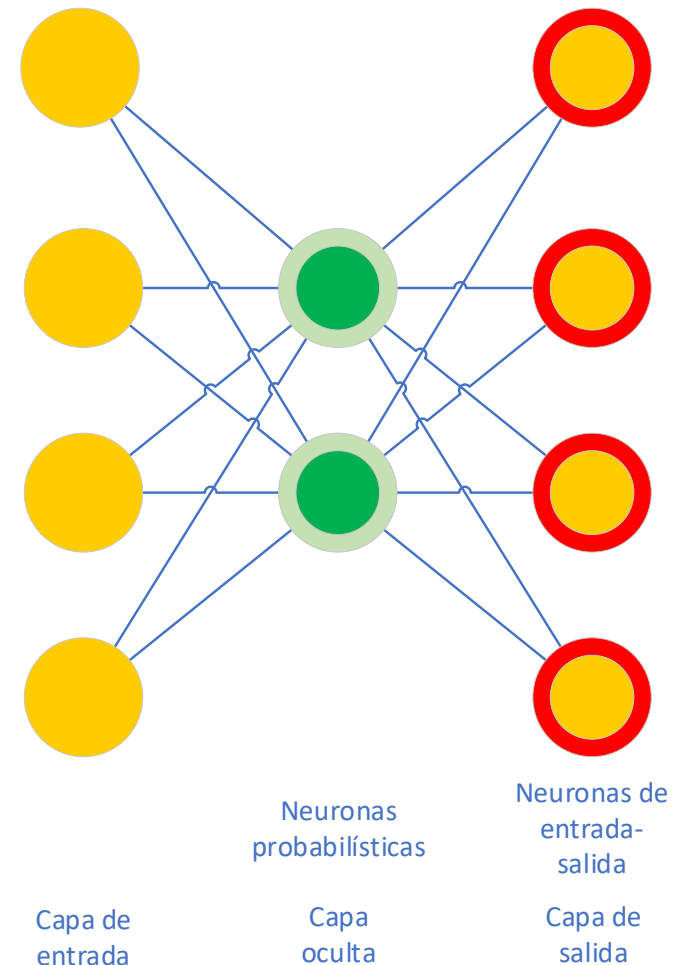
- ▶ **Denoising AE (DAE) – AE de supresión de ruido**
- ▶ Se utilizan para eliminar ruido de la imagen (usando el ruido como entrada en lugar de los datos)



# Autoencoders (AE)

- ▶ **Variational AE (VAE) – AE variacionales**

- ▶ Relacionados con las máquinas de Boltzmann (BM) y las máquinas de Boltzmann restringidas (RBM)
- ▶ Basadas en matemáticas bayesianas para modelar la distribución de probabilidad aproximada de las muestras de entrada
- ▶ Generación de imágenes y textos, aprendizaje semisupervisado avanzado, interpolación de textos

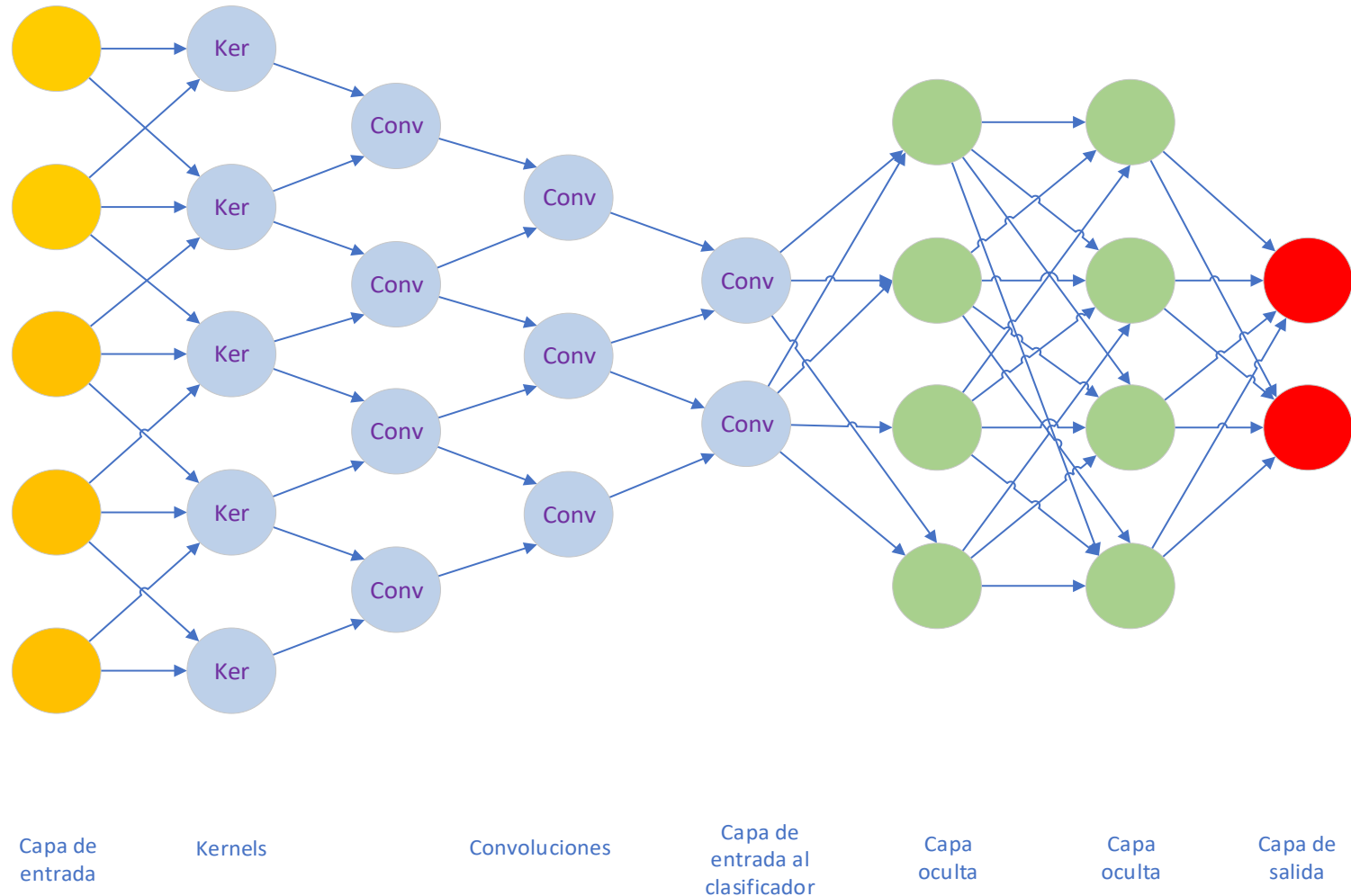


# Redes neuronales convolucionales

- ▶ Los modelos lineales no funcionan bien para el reconocimiento de imágenes.
- ▶ Si queremos reconocer animales u objetos en imágenes y tomar una imagen o plantilla promedio de cada clase (por ejemplo, una para perros, otra para gatos, etc.) para usarla en los datos de entrenamiento y luego usar, por ejemplo, un algoritmo clasificador como el k-NN (u otro) esto no funciona bien.
- ▶ **Necesitamos aprovechar las características de las redes neuronales profundas para la clasificación de las imágenes utilizando capas de abstracción.**

# Redes neuronales convolucionales

## ► Redes neuronales convolucionales (CNN y Deep CNN)



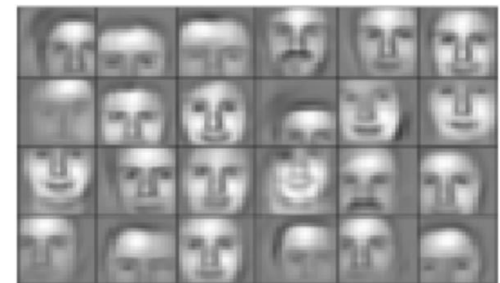
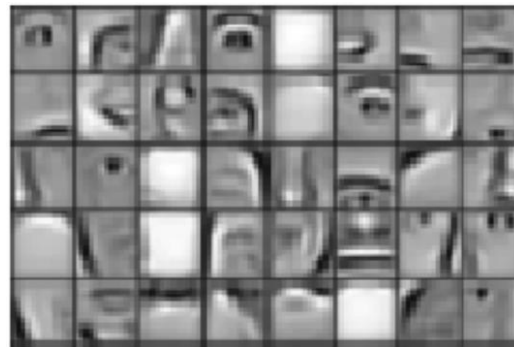
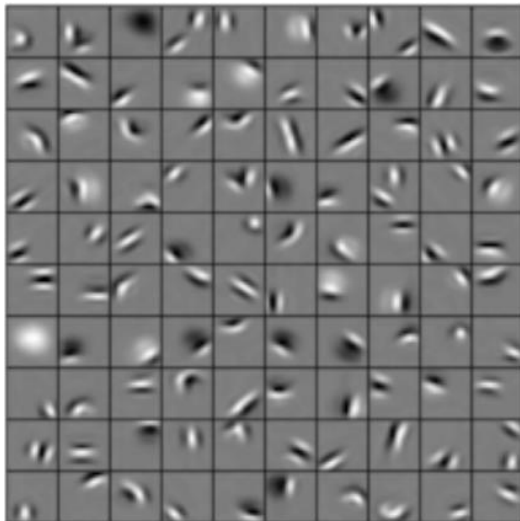
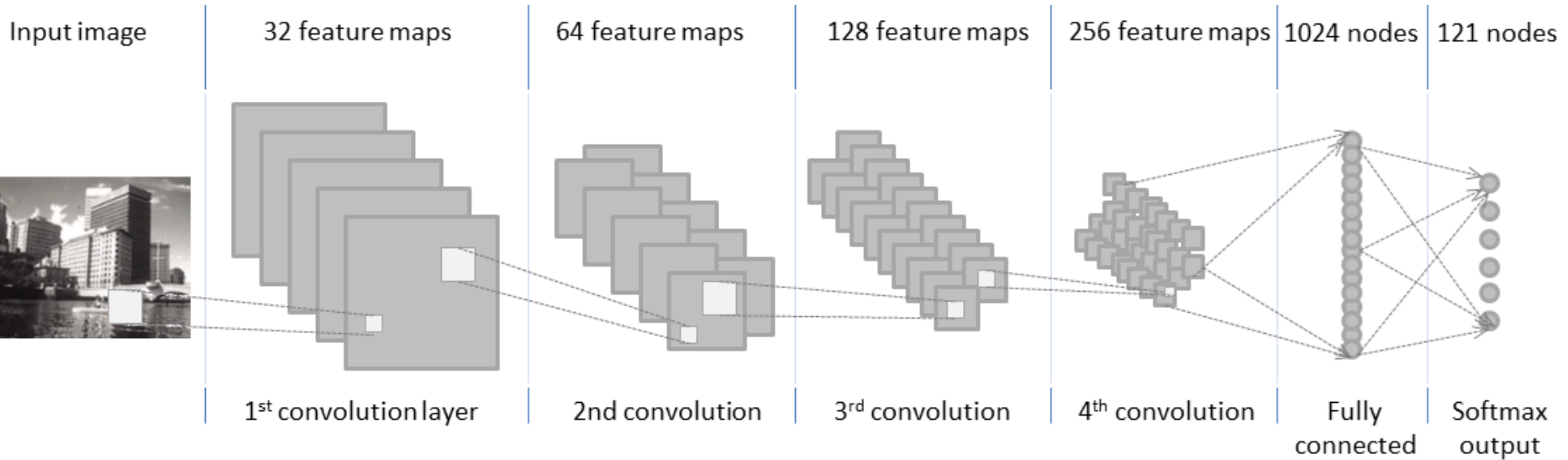
# Redes neuronales convolucionales

- ▶ Dividimos toda la imagen en bloques de  $8 \times 8$  píxeles y asignamos a cada uno un tipo de línea dominante (horizontal, vertical, las dos diagonales, un bloque completamente opaco o completamente vacío, etc.).
  - El resultado es una matriz de líneas que representan los bordes de la imagen.
- ▶ En la siguiente capa tomamos de nuevo un bloque de  $8 \times 8$  bloques obtenidos en la etapa anterior y extraemos una nueva salida con nuevas características cada vez más abstractas, repitiendo la operación una y otra vez.
- ▶ Esta operación se llama **convolución** y puede ser representada por una capa de la red neuronal, **ya que cada neurona puede actuar como cualquier función.**

# Redes neuronales convolucionales

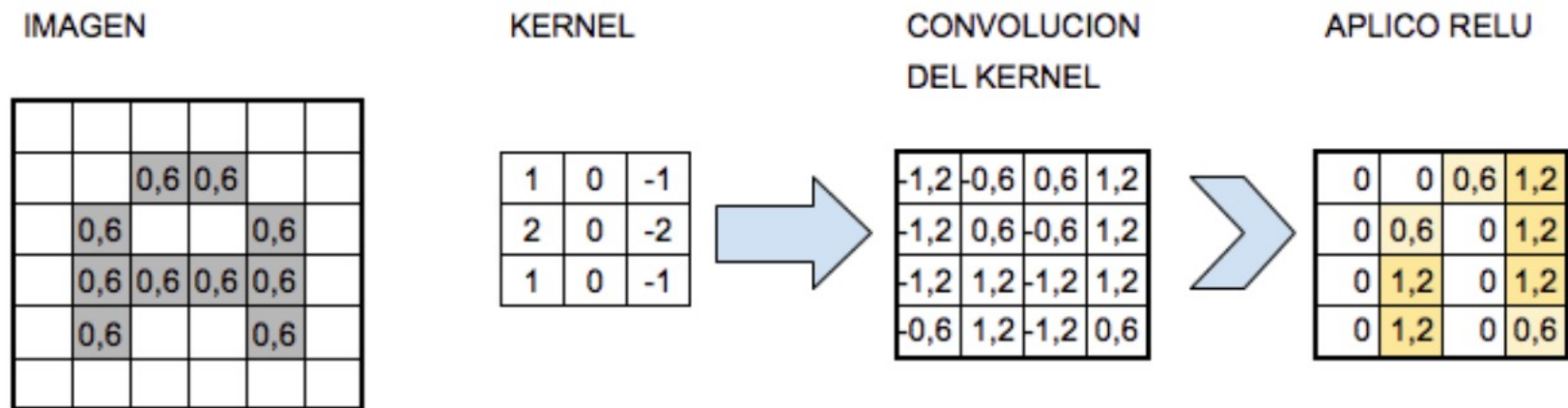
- ▶ En las primeras etapas, las neuronas se activan representando la línea dominante en cada célula de  $8 \times 8$  píxeles.
- ▶ En las etapas intermedias las neuronas representan rasgos como la pata o la cabeza.
- ▶ En las etapas posteriores las neuronas se activan representando conceptos como el gato o el perro.
- ▶ La salida de la última etapa de convolución se conecta a un MLP que actúa como clasificador basado en las características más abstractas, determinando la probabilidad de pertenecer a una clase final (perro o gato, por ejemplo).

# Redes neuronales convolucionales

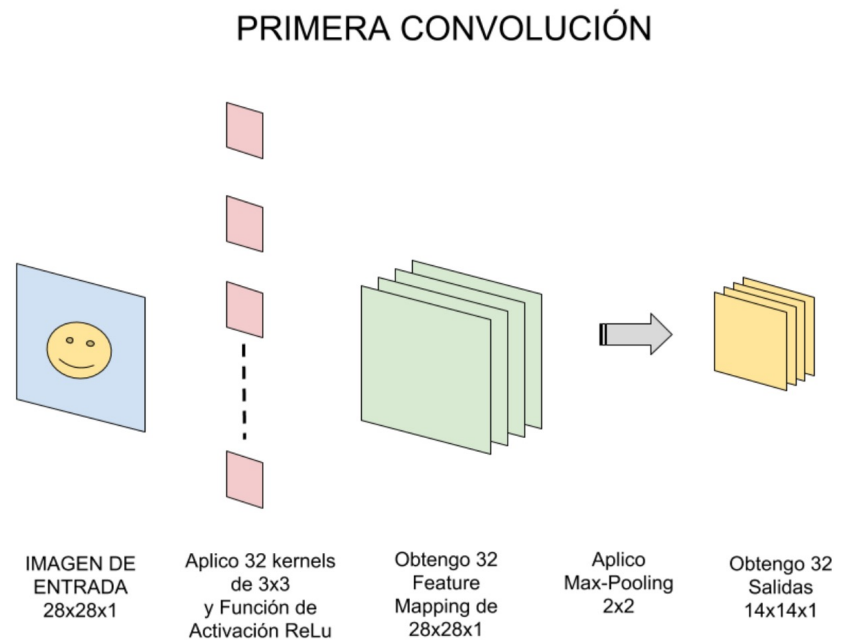
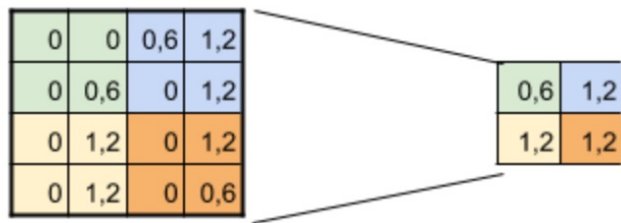




# Redes neuronales convolucionales



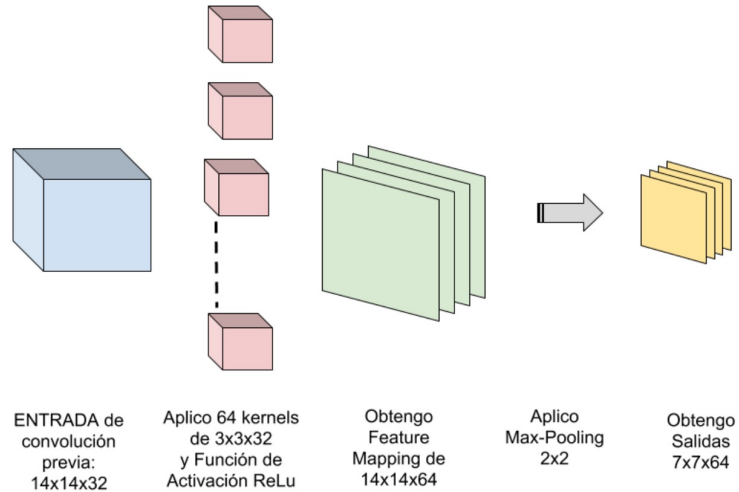
## Subsampling – Max-Pooling



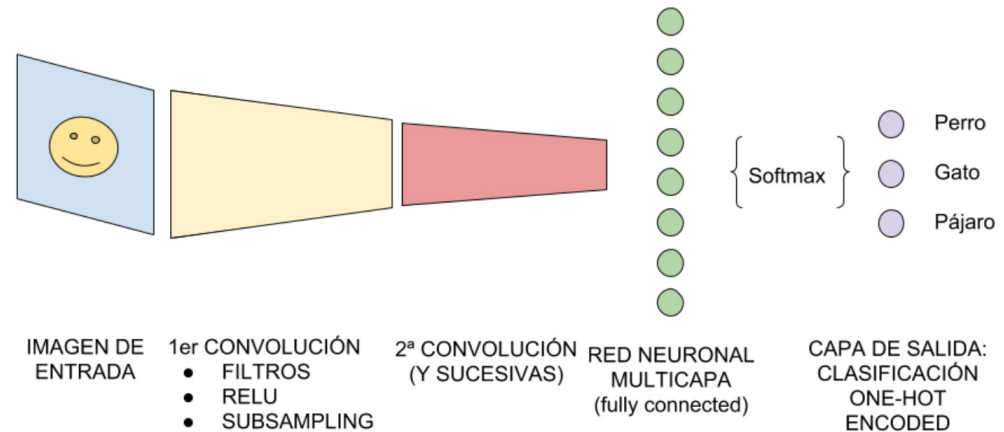
Fuente: <https://www.aprendemachinelearning.com/como-funcionan-las-convolutional-neural-networks-vision-por-ordenador/>

# Redes neuronales convolucionales

## SEGUNDA CONVOLUCIÓN (y sucesivas)



## ARQUITECTURA DE UNA CNN



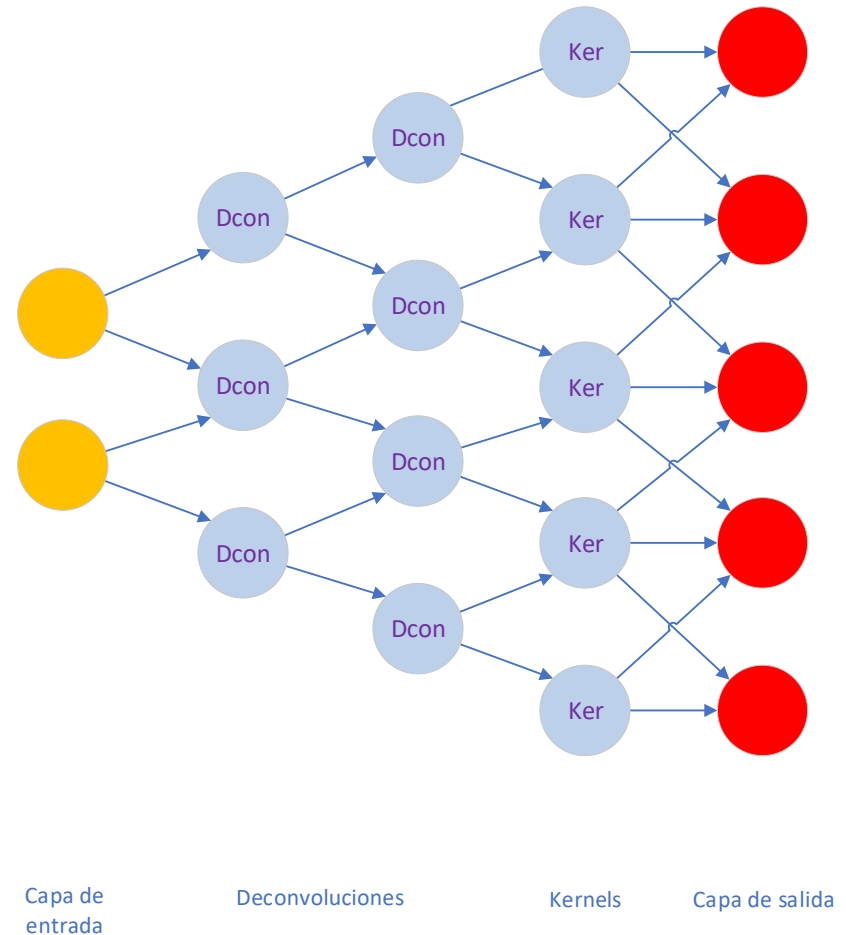
Fuente: <https://www.aprendemachinelearning.com/como-funcionan-las-convolutional-neural-networks-vision-por-ordenador/>

# Redes neuronales convolucionales

- ▶ **Redes neuronales convolucionales (CNN y Deep CNN)**
  - Búsqueda de objetos en imágenes y vídeos
  - Reconocimiento facial
  - Transferencia de estilos
  - Mejora de calidad de imágenes
  - Etc.
- ▶ Ejemplos:
  - <https://tensorspace.org/html/playground/index.html>
  - Neural Network 3D Simulator:  
<https://www.youtube.com/watch?v=3JQ3hYko51Y>

# Redes neuronales convolucionales

- ▶ **Redes deconvolucionales (DN o Deep DN – DDN).**
- ▶ **(O Redes Gráficas Inversas)**
- ▶ Entrada: “perro” o “gato”
- ▶ Salida: imagen sintética
- ▶ También para detectar cambios en imágenes



# Redes neuronales convolucionales

- ▶ **Redes gráficas inversas convolucionales profundas (DCIGN)**
- ▶ **Son VAE en las que el codificador es una CNN y el decodificador es una DNN.**
- ▶ Tratan de modelar características como probabilidades
- ▶ Aplicaciones:
  - Para unir dos objetos en una imagen
  - Eliminar un objeto de una imagen
  - Rotar un objeto en una imagen 3D
  - Modificar la luz
  - Etc.

# Redes Generativas Antagónicas (GAN)

- ▶ **Dos redes neuronales que trabajan juntas (“compiten”)**
- ▶ **Normalmente una FFNN y una CNN**
  - **Red generativa:** genera contenido
  - **Red discriminativa:** discriminar el contenido generado por la primera
- ▶ **Otra posibilidad:**
  - **Red generativa:** DNN (red deconvolucional generando imágenes)
  - **Red discriminativa:** CNN que juzga las imágenes
  - Síntesis de imágenes artificiales, vídeos en los que se convierten caballos en cebras, personas famosas en otros cuerpos (*Deepfake*)
- ▶ <https://thispersondoesnotexist.com/>

# Reinforcement Learning y Deep RL

- ▶ Vehículos autónomos
- ▶ Robots aspiradores
- ▶ Comercio automatizado
- ▶ Gestión de recursos empresariales
- ▶ Videojuegos
- ▶ Etc.

# Reinforcement Learning y Deep RL

- ▶ **DeepMind (adquirida por Google en 2014)**
- ▶ 2015: AlphaGo Fan
  - Búsqueda en árbol de Monte Carlo, red de valores, red de políticas
  - Dataset: 30 millones de movimientos de humanos
  - 176 GPU
- ▶ 2016: AlphaGo Lee vence a campeones humanos por primera vez en Go
  - 48 TPU
- ▶ 2017: AlphaGo Master
  - 4 TPU
- ▶ **2017: AlphaGo Zero**
  - ¡Sin dataset de entrenamiento!
  - 4 TPU
  - Vence a AlphaGo en 3 días y a AlphaGo Master en 21 días
  - Red entrenada en 64 GPU y 19 CPU previamente
- ▶ **2018: Alpha Zero: go, ajedrez, shogi**
  - En 8 horas superior en go a AlphaGo Zero
  - 4 TPU para la inferencia, entrenado por 5000 TPU que competían contra él



# Reinforcement Learning y Deep RL

- ▶ **Algoritmos genéticos**
- ▶ **Basados en selección natural**
- ▶ Población inicial de individuos (cromosomas)
  - Posibles soluciones a un problema, generados al azar o ciertas pautas
- ▶ Función de aptitud (bondad a la hora de resolver solución)
- ▶ Probabilidad de que los individuos se crucen (los más aptos se cruzan más)
- ▶ Probabilidad de mutación (cercana a 0, pero no 0 para no converger a soluciones locales)
- ▶ **Iteración: evaluación aptitud -> selección -> cruce -> mutación**

# Reinforcement Learning y Deep RL

- ▶ **Model-based**

- Existe un data-set previo

- ▶ **Model-free**

- **No existe data-set previo de entrenamiento**
- ¡Un vehículo autónomo no puede conocer toda la Tierra!
- Se enfoca en minimizar error (o maximizar recompensa)
  - Estados
  - Acciones
  - Recompensas

# Reinforcement Learning y Deep RL - AG

## ► Teoría de la evolución

Conjunto de posibles soluciones a un problema

Los **miembros** de una **población** que se adapten mejor al entorno, sobrevivirán y se reproducirán más probablemente y los hijos heredarán las características de sus progenitores.

Individuos  
o  
Cromosomas

Población inicial generada aleatoriamente

- Existe una **población de individuos** en un entorno con determinados recursos.
- Aquellos individuos que **mejor se adaptan** al entorno se hacen con los recursos y **sobreviven**.
- Los mejores individuos que sobreviven **se cruzan** entre ellos para tener hijos. Es posible que **ocurran mutaciones**.
- Los hijos heredan características de los progenitores y dan lugar a una nueva población de individuos, que a su vez han de sobrevivir y competir por los recursos disponibles.
- La competición por los recursos y selección de los **más fuertes** se sucede generación tras generación y el resultado es el **aumento de la calidad** de la población.

Selección

Medida de la bondad: función de fitness

Mutación

Cruce

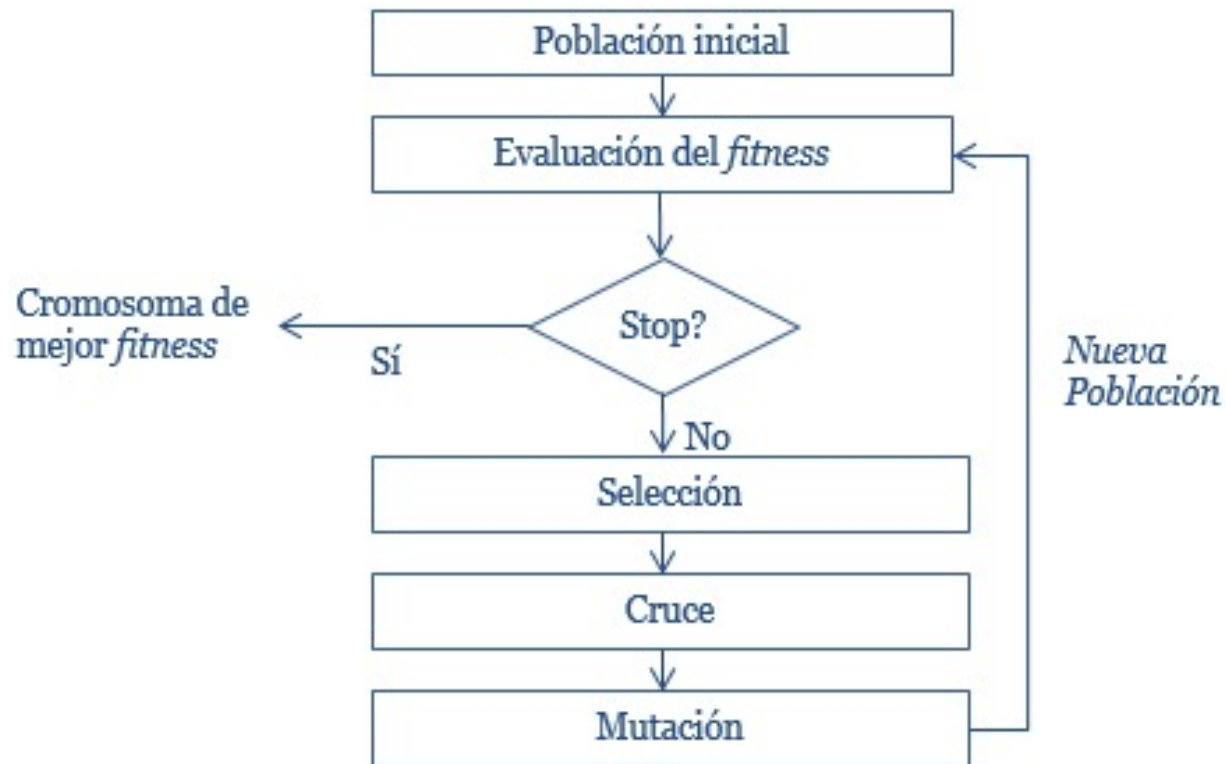
Mayor bondad  
o fitness

Aumento del fitness

→ Conseguir soluciones de mayor calidad tras varias generaciones

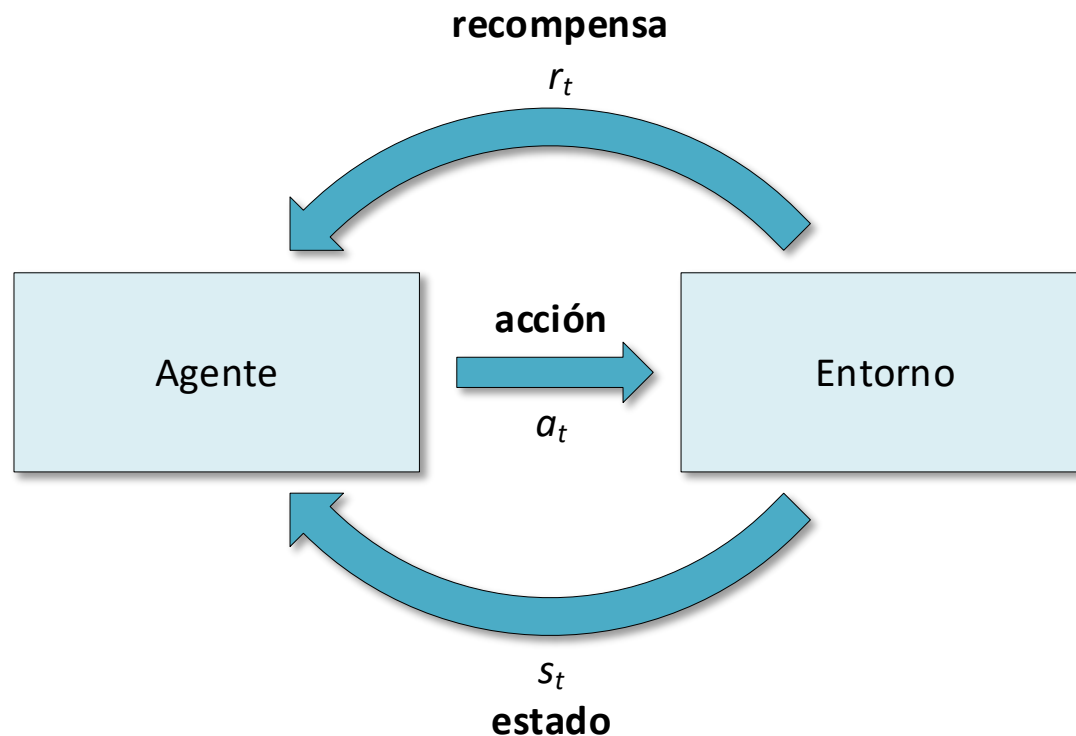
# Reinforcement Learning y Deep RL - AG

## ► Fases de un algoritmo genético



# Reinforcement Learning y Deep RL - Markov

## ► Procesos de decisión de Markov (MDP)



– **Maximizar recompensa total futura:**

– Factor de descuento **gamma**

- Cuantifica importancia entre recompensas inmediatas y futuras

$$\sum_{t=0}^{t=\infty} \gamma^t r(s(t), a(t))$$

# Reinforcement Learning y Deep RL

- ▶ **Balance o compromiso entre exploración y explotación**  
**(*exploration-exploitation trade-off*)**
  - Explotación de recompensas conocidas (acciones con resultados conocidos positivos)
  - Exploración en busca de nuevas recompensas (prueba nuevas acciones y observa nuevos estados)
  - **Estrategia  $\epsilon$ -codiciosa**: dedicar un porcentaje  **$\epsilon$**  o fracción del tiempo a explorar en lugar de a explotar
    - Se puede reducir progresivamente en función de los conocimientos adquiridos por el agente

# Reinforcement Learning y Deep RL

## ▶ Algoritmos Q-Learning y Deep Q-Networks (DQN)

- ▶ Para cualquier proceso de decisión finito de Markov (FMDP – *Finite Markov Decision Process*), el Q-learning (Q viene de *Quality* o calidad) encuentra una política que es óptima en el sentido de que maximiza el valor esperado de la recompensa total en todos y cada uno de los pasos sucesivos, a partir del estado actual.

- ▶ Cada nuevo valor  $Q^{new}(s_t, a_t)$  se actualiza en cada iteración a partir del antiguo valor  $Q(s_t, a_t)$  con una **tasa de aprendizaje**  $\alpha$ , ya que el valor aprendido

$\left( r_t + \gamma \cdot \max_a Q(s_{t+1}, a) \right)$  se conoce, donde  $r_t$  es la recompensa,  $\gamma$  es el factor de descuento y  $\max_a Q(s_{t+1}, a)$  es la estimación del valor óptimo futuro:

$$Q^{new}(s_t, a_t) \leftarrow (1 - \alpha)Q(s_t, a_t) + \alpha \left( r_t + \gamma \cdot \max_a Q(s_{t+1}, a) \right)$$

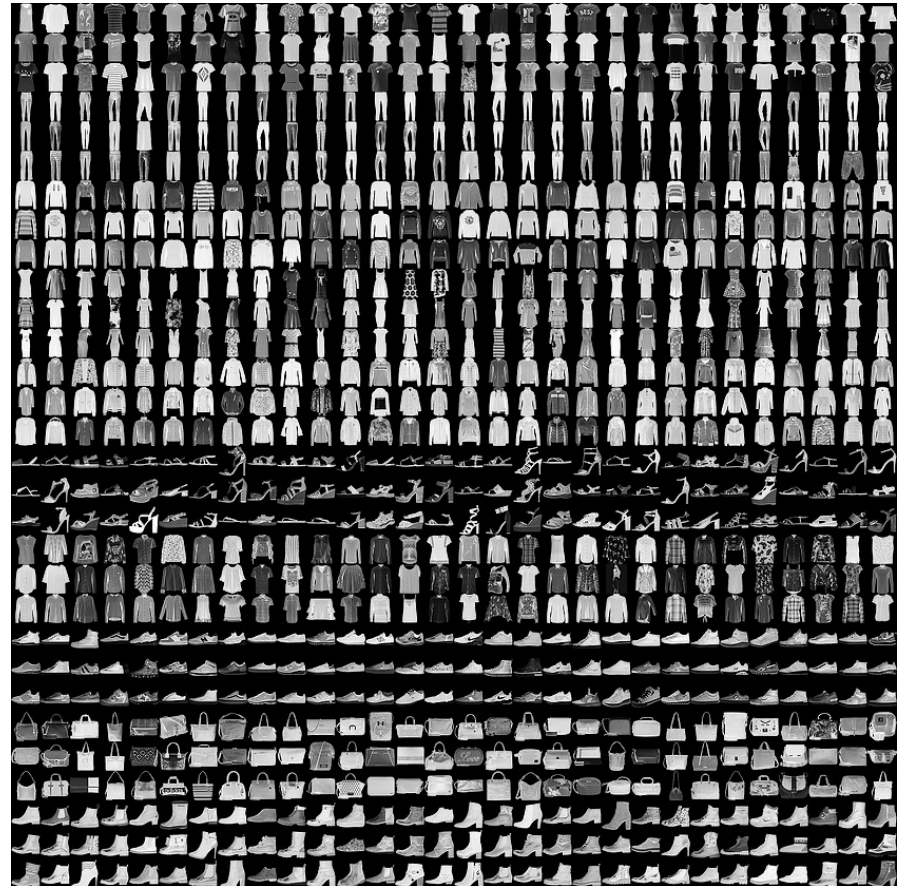
- ▶ <https://www.tensorflow.org/>
- ▶ Librería de código abierto muy popular para el cálculo numérico de alto rendimiento
- ▶ Desarrollada por el equipo de Google Brain en Google
- ▶ Definición y ejecución de cálculos que implican tensores
- ▶ *Un **tensor** es cierta clase de entidad algebraica que generaliza los conceptos de escalar, vector y matriz de una forma que sea independiente de cualquier sistema de coordenadas elegido*
- ▶ Entrenamiento y ejecución de redes neuronales profundas
- ▶ Ampliamente utilizado en el campo de la investigación y aplicación del machine learning



- ▶ 2015: Lanzado por Google como código abierto, basado en Python
- ▶ 2016: Google lanza las TPU
  - ASIC específico para operar con tensores
  - Aritmética de 8 bit
  - Disponibles en el Cloud
- ▶ 2018: Tensorflow.js para JavaScript / Node.js
- ▶ 2018: Google Edge TPU
- ▶ 2019: TensorFlow 2.0: C++, Haswell, Java, Go y Rust
- ▶ También bibliotecas de terceros para C#, R y Scala

- ▶ **Ejemplo de reconocimiento de dígitos escritos a mano**
- ▶ MNIST es una gran base de datos de dígitos escritos a mano que se usa comúnmente para entrenar sistemas de procesamiento de imágenes
  - De la web de Lecun (Yann Lecun, h=122, es, junto a Geoffrey Hinton y Yoshua Bengio, los tres *Padrinos de la Inteligencia Artificial* o *Padrinos del Machine Learning*).
- ▶ **Nota:** es necesario instalar el paquete tensorflow o tensorflow-gpu para el funcionamiento del siguiente ejemplo (instalará más de 400MB en el ordenador, incluyendo dependencias, como parte de Keras)
- ▶ Además, bajo Windows es necesario contar con la última versión de Visual C++ Redistributable para su funcionamiento:
  - <https://support.microsoft.com/en-us/help/2977003/the-latest-supported-visual-c-downloads>

- ▶ Utilizaremos 60.000 imágenes para entrenamiento de nuestra red neuronal
- ▶ Usaremos 10.000 restantes para el test



- ▶ Exploramos los datos:
  - train\_images: array con las imágenes del training dataset ( $28 \times 28$  con un entero entre 0 y 255).
  - train\_labels: array con las etiquetas del training dataset, un valor de 0 a 9.
  - test\_images: array con las imágenes del test dataset.
  - test\_labels: array con las etiquetas del test dataset.

Etiqueta	Clase
0	T-shirt/top
1	Trouser
2	Pullover
3	Dress
4	Coat
5	Sandal
6	Shirt
7	Sneaker
8	Bag
9	Ankle boot

```
# Incorporamos los nombres al dataset, pues no se incluyen
```

```
from __future__ import absolute_import, division, print_function, u  
nicode_literals
```

```
# TensorFlow y tf.keras
```

```
import tensorflow as tf  
from tensorflow import keras
```

```
# Librerías de ayuda
```

```
import numpy as np  
import matplotlib.pyplot as plt
```

```
fashion_mnist = keras.datasets.fashion_mnist
```

```
(train_images, train_labels), (test_images, test_labels) = fashion_  
mnist.load_data()
```

```
class_names = ["T-  
shirt/top", "Trouser", "Pullover", "Dress", "Coat", "Sandal", "Shir  
t", "Sneaker", "Bag", "Ankle boot"]
```

```
# hay 60 000 imágenes en el training dataset
print(train_images.shape)
#> (60000, 28, 28)
print(len(train_labels))
#> 60000
```

```
# cada etiqueta es un número entre 0 y 9
print(train_labels)
#> [9, 0, 0, ..., 3, 0, 5]
```

```
# hay 10 000 imágenes en el test dataset
print(test_images.shape)
#> (10000, 28, 28)
print(len(test_labels))
#> 10000
```

Downloading data from <https://storage.googleapis.com/tensorflow/tf-keras-datasets/train-labels-idx1-ubyte.gz>

32768/29515 [=====] - 0s 0us/step

Downloading data from <https://storage.googleapis.com/tensorflow/tf-keras-datasets/train-images-idx3-ubyte.gz>

26427392/26421880 [=====] - 0s 0us/step

Downloading data from <https://storage.googleapis.com/tensorflow/tf-keras-datasets/t10k-labels-idx1-ubyte.gz>

8192/5148 [=====] - 0s 0us/step

Downloading data from <https://storage.googleapis.com/tensorflow/tf-keras-datasets/t10k-images-idx3-ubyte.gz>

4423680/4422102 [=====] - 0s 0us/step



```
# Seleccionamos el primer elemento antes de preprocesar los datos
from __future__ import absolute_import, division, print_function, unicode_literals

# TensorFlow y tf.keras
import tensorflow as tf
from tensorflow import keras

# Librerías de ayuda
import numpy as np
import matplotlib.pyplot as plt

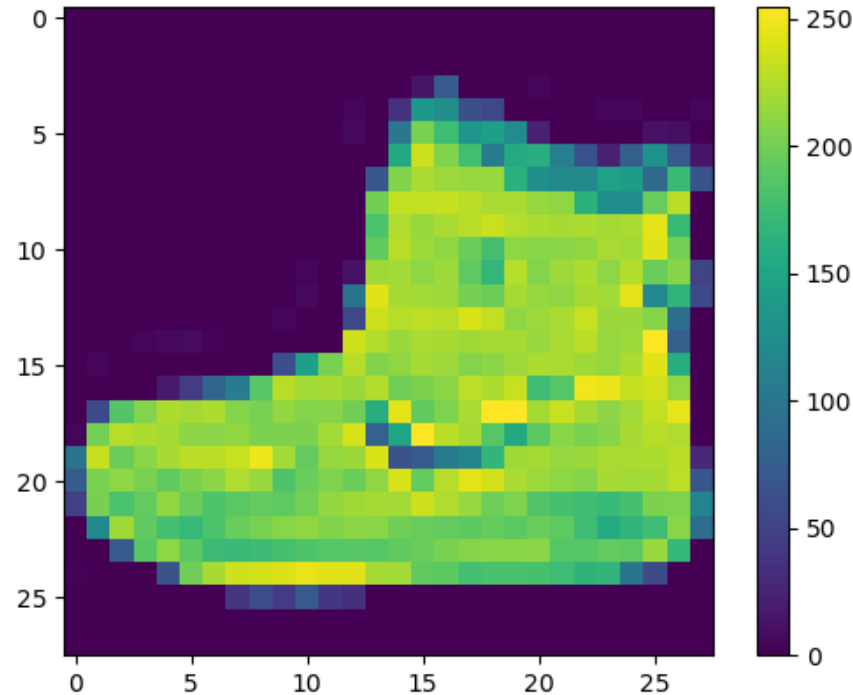
fashion_mnist = keras.datasets.fashion_mnist

(train_images, train_labels), (test_images, test_labels) = fashion_mnist.load_data(
)

class_names = ["T-shirt/top", "Trouser", "Pullover", "Dress", "Coat", "Sandal", "Shirt", "Sneaker", "Bag", "Ankle boot"]

plt.figure()
plt.imshow(train_images[0])
plt.colorbar()
plt.grid(False)
plt.show()
```

- ▶ Veremos una imagen como la siguiente, en la que vemos los  $28 \times 28$  píxeles, cada uno con un valor entre 0 y 255:



```
# Normalizamos los datos y mostramos las primeras 25 imágenes
```

```
from __future__ import absolute_import, division, print_function, u  
nicode_literals
```

```
# TensorFlow y tf.keras  
import tensorflow as tf  
from tensorflow import keras
```

```
# Librerías de ayuda  
import numpy as np  
import matplotlib.pyplot as plt
```

```
fashion_mnist = keras.datasets.fashion_mnist
```

```
(train_images, train_labels), (test_images, test_labels) = fashion_  
mnist.load_data()
```

```
# normalizamos
train_images = train_images / 255.0
test_images = test_images / 255.0

class_names = ["T-shirt/top", "Trouser", "Pullover", "Dress", "Coat", "Sandal", "Shirt", "Sneaker", "Bag", "Ankle boot"]

plt.figure(figsize=(10,10))
for i in range(25):
    plt.subplot(5,5,i+1)
    plt.xticks([])
    plt.yticks([])
    plt.grid(False)
    plt.imshow(train_images[i], cmap=plt.cm.binary)
    plt.xlabel(class_names[train_labels[i]])
plt.show()
```



```
from __future__ import absolute_import, division, print_function  
, unicode_literals
```

```
# TensorFlow y tf.keras  
import tensorflow as tf  
from tensorflow import keras
```

```
# Librerías de ayuda  
import numpy as np  
import matplotlib.pyplot as plt
```

```
fashion_mnist = keras.datasets.fashion_mnist
```

```
(train_images, train_labels), (test_images, test_labels) = fashi  
on_mnist.load_data()
```

```
# normalizamos
```

```
train_images = train_images / 255.0
```

```
test_images = test_images / 255.0
```

```
class_names = ["T-shirt/top", "Trouser", "Pullover", "Dress", "Coat", "Sandal", "Shirt", "Sneaker", "Bag", "Ankle boot"]
```

```
# Creamos el modelo:
```

```
model = keras.Sequential([  
    keras.layers.Flatten(input_shape=(28, 28)),  
    keras.layers.Dense(128, activation="relu"),  
    keras.layers.Dense(10, activation="softmax")  
])
```

```
# Compilamos el modelo:
model.compile(optimizer="adam", loss="sparse_categorical_crossentropy", metrics=["accuracy"])

# Entrenamos el modelo:
model.fit(train_images, train_labels, epochs=10)

# Evaluamos exactitud:
test_loss, test_acc = model.evaluate(test_images, test_labels, verbose=2)
print("\nTest accuracy:", test_acc)
#> Test accuracy: 0.8848999738693237
```



```
# Realizamos predicciones, mostrando la predicción sobre el primer elemento
predictions = model.predict(test_images)
# mostramos las 10 probabilidades
print(predictions[0])
#> [4.3090558e-09 5.8588463e-09 2.3414977e-09 1.4041760e-07 5.7719642e-09
#> 1.0011349e-04 4.5159254e-07 2.3861572e-02 1.9545018e-07 9.7603750e-01]
# nos quedamos con la más elevada
print(np.argmax(predictions[0]))
#> 9
```

# Mostremos de forma gráfica todo el conjunto de las predicciones de las 10 clases

```
def plot_image(i, predictions_array, true_label, img):
    predictions_array, true_label, img = predictions_array, true_label[i],
    img[i]
    plt.grid(False)
    plt.xticks([])
    plt.yticks([])

    plt.imshow(img, cmap=plt.cm.binary)

    predicted_label = np.argmax(predictions_array)
    if predicted_label == true_label:
        color = "blue"
    else:
        color = "red"
    plt.xlabel("{} {:2.0f}% ({}))".format(class_names[predicted_label],
                                         100*np.max(predictions_array),
                                         class_names[true_label]),
            color=color)
```

```
def plot_value_array(i, predictions_array, true_label):
    predictions_array, true_label = predictions_array, true_label[
i]
    plt.grid(False)
    plt.xticks(range(10))
    plt.yticks([])
    thisplot = plt.bar(range(10), predictions_array, color="#77777
7")
    plt.ylim([0, 1])
    predicted_label = np.argmax(predictions_array)

    thisplot[predicted_label].set_color("red")
    thisplot[true_label].set_color("blue")
```

```
# Mostraremos las primeras 15 imágenes de test con sus predicciones y sus etiquetas reales
```

```
# En azul las predicciones correctas y en rojo las incorrectas
```

```
num_rows = 5
num_cols = 3
num_images = num_rows*num_cols
plt.figure(figsize=(2*2*num_cols, 2*num_rows))
for i in range(num_images):
    plt.subplot(num_rows, 2*num_cols, 2*i+1)
    plot_image(i, predictions[i], test_labels, test_images)
    plt.subplot(num_rows, 2*num_cols, 2*i+2)
    plot_value_array(i, predictions[i], test_labels)
plt.tight_layout()
plt.show()
```

Al entrenar la red veremos un proceso como el siguiente, para las 10 épocas que se han seleccionado:

Epoch 1/10

1875/1875 [=====] - 5s 3ms/step - loss:  
0.4985 - accuracy: 0.8248

Epoch 2/10

1875/1875 [=====] - 6s 3ms/step - loss:  
0.3716 - accuracy: 0.8666  
0.2772 - accuracy: 0.8975

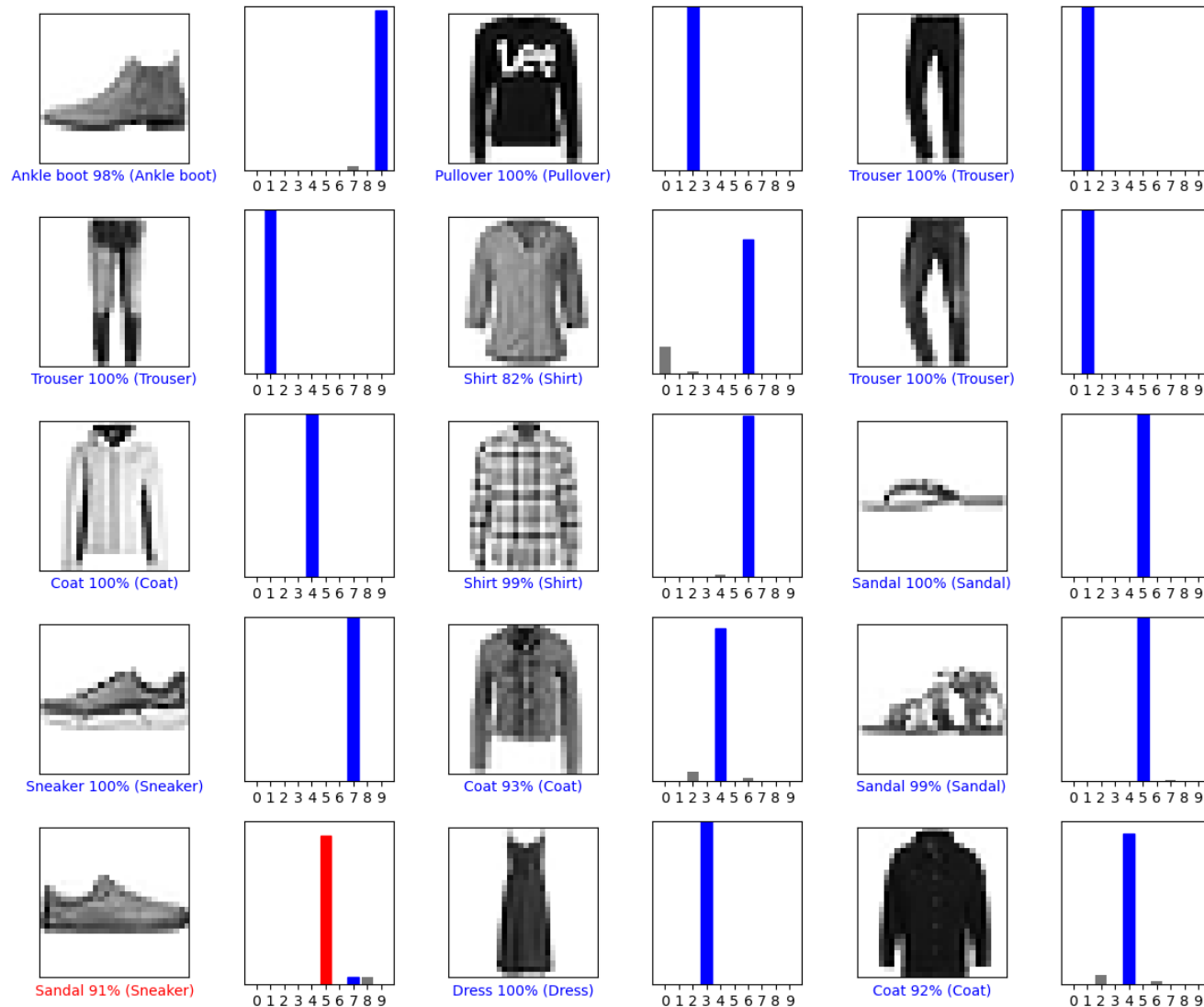
...

Epoch 9/10

1875/1875 [=====] - 4s 2ms/step - loss:  
0.2463 - accuracy: 0.9074

Epoch 10/10

1875/1875 [=====] - 4s 2ms/step - loss:  
0.2375 - accuracy: 0.9103  
313/313 - 0s - loss: 0.3325 - accuracy: 0.8849



# Referencias bibliográficas

- ▶ Alcantarilla, P.F., Stent, S., Ros, G., Arroyo, R., Gherardi, R. (2018). Street-view change detection with deconvolutional networks. *Autonomous Robots* 42, 1301–1322.
- ▶ Alex, V., Vaidhya, K., Thirunavukkarasu, S., Kesavadas, C., & Krishnamurthi, G. (2017). Semisupervised learning using denoising autoencoders for brain lesion detection and segmentation. *Journal of Medical Imaging*, 4(4), 041311.
- ▶ Alonso, R. S., Tapia, D. I., Bajo, J., García, Ó., De Paz, J. F., & Corchado, J. M. (2013). Implementing a hardware-embedded reactive agents platform based on a service-oriented architecture over heterogeneous wireless sensor networks. *Ad Hoc Networks*, 11(1), 151-166.
- ▶ Arulkumaran, K., Deisenroth, M.P., Brundage, M., Bharath, A.A. (2017). Deep reinforcement learning: A brief survey. *IEEE Signal Processing Magazine* 34, 26–38.

# Referencias bibliográficas

- ▶ Bengio, Y., Lamblin, P., Popovici, D., & Larochelle, H. (2007). Greedy layer-wise training of deep networks. In *Advances in neural information processing systems* (pp. 153-160).
- ▶ Bora, T.C., Mariani, V.C., dos Santos Coelho, L. (2019). Multi-objective optimization of the environmental-economic dispatch with reinforcement learning based on non-dominated sorting genetic algorithm. *Applied Thermal Engineering* 146, 688–700.
- ▶ Broomhead, D. S., & Lowe, D. (1988). *Radial basis functions, multi-variable functional interpolation and adaptive networks* (No. RSRE-MEMO-4148). Royal Signals and Radar Establishment Malvern (United Kingdom).
- ▶ Cao, R., Freitas, C., Chan, L., Sun, M., Jiang, H., & Chen, Z. (2017). ProLanGO: protein function prediction using neural machine translation based on a recurrent neural network. *Molecules*, 22(10), 1732.



# Referencias bibliográficas

- ▶ Chung, J., Gulcehre, C., Cho, K., & Bengio, Y. (2014). Empirical evaluation of gated recurrent neural networks on sequence modeling. *arXiv preprint arXiv:1412.3555*.
- ▶ Costa-jussà, M. R., Allauzen, A., Barrault, L., Cho, K., & Schwenk, H. (2017). Introduction to the special issue on deep learning approaches for machine translation. *Computer Speech & Language*, 46, 367-373.
- ▶ De Paz, J. F., Tapia, D. I., Alonso, R. S., Pinzón, C. I., Bajo, J., & Corchado, J. M. (2013). Mitigation of the ground reflection effect in real-time locating systems based on wireless sensor networks by using artificial neural networks. *Knowledge and information systems*, 34(1), 193-217.

# Referencias bibliográficas

- ▶ Dechter, R. (1986). *Learning while searching in constraint-satisfaction problems* (pp. 178-183). University of California, Computer Science Department, Cognitive Systems Laboratory.
- ▶ Deng, L., & Liu, Y. (Eds.). (2018). *Deep learning in natural language processing*. Springer.
- ▶ Faia, R., Pinto, T., Vale, Z., & Corchado, J. M. (2018). Case-based reasoning using expert systems to determine electricity reduction in residential buildings. In *2018 IEEE Power & Energy Society General Meeting (PESGM)* (pp. 1-5). IEEE.
- ▶ Fayek, H. M., Lech, M., & Cavedon, L. (2017). Evaluating deep learning architectures for Speech Emotion Recognition. *Neural Networks*, 92, 60-68.
- ▶ García, Ó., Prieto, J., Alonso, R. S., & Corchado, J. M. (2017). A framework to improve energy efficient behaviour at home through activity and context monitoring. *Sensors*, 17(8), 1749.

# Referencias bibliográficas

- ▶ Gatys, L. A., Ecker, A. S., & Bethge, M. (2016). Image style transfer using convolutional neural networks. In *Proceedings of the IEEE conference on computer vision and pattern recognition* (pp. 2414-2423).
- ▶ Goodfellow, I., Pouget-Abadie, J., Mirza, M., Xu, B., Warde-Farley, D., Ozair, S., Courville, A., Bengio, Y. (2014). Generative adversarial nets, in: *Advances in neural information processing systems*, pp. 2672–2680.
- ▶ Hu, B., Shi, C., Liu, J. (2017). Playlist recommendation based on reinforcement learning, in: *International Conference on Intelligence Science*, Springer. pp. 172–182
- ▶ Jouppi, N., Young, C., Patil, N., & Patterson, D. (2018). Motivation for and evaluation of the first tensor processing unit. *IEEE Micro*, 38(3), 10-19.
- ▶ Karpathy, A. (2016). Cs231n convolutional neural networks for visual recognition. *Neural networks*, 1, 1.

# Referencias bibliográficas

- ▶ Kim, J., Kim, J., Lee, S., Park, J., & Hahn, M. (2016, November). Vowel based voice activity detection with LSTM recurrent neural network. In *Proceedings of the 8th International Conference on Signal Processing Systems* (pp. 134-137).
- ▶ Kulkarni, T.D., Whitney, W.F., Kohli, P., Tenenbaum, J. (2015). Deep convolutional inverse graphics network, in: *Advances in neural information processing systems*, pp. 2539–2547
- ▶ Lample, G., Chaplot, D.S., 2017. Playing fps games with deep reinforcement learning, in: *Thirty-First AAAI Conference on Artificial Intelligence*.
- ▶ LeCun, Y., Bengio, Y., & Hinton, G. (2015). Deep learning. *Nature*, 521(7553), 436-444.
- ▶ Leike, J., Krueger, D., Everitt, T., Martic, M., Maini, V., Legg, S. (2018). Scalable agent alignment via reward modeling: a research direction. arXiv preprint arXiv:1811.07871 .

# Referencias bibliográficas

- ▶ Lima, A. C. E., de Castro, L. N., & Corchado, J. M. (2015). A polarity analysis framework for Twitter messages. *Applied Mathematics and Computation*, 270, 756-767.
- ▶ Liu, Y.J., Cheng, S.M., Hsueh, Y.L. (2017). enb selection for machine type communications using reinforcement learning based markov decision process. *IEEE Transactions on Vehicular Technology* 66, 11330–11338.
- ▶ Liu, W., Wang, Z., Liu, X., Zeng, N., Liu, Y., & Alsaadi, F. E. (2017). A survey of deep neural network architectures and their applications. *Neurocomputing*, 234, 11-26.
- ▶ Lowe, R., Wu, Y., Tamar, A., Harb, J., Abbeel, O.P., Mordatch, I. (2017). Multi-agent actor-critic for mixed cooperative-competitive environments, in: *Advances in Neural Information Processing Systems*, pp. 6379–6390.
- ▶ Luan, F., Paris, S., Shechtman, E., & Bala, K. (2017). Deep photo style transfer. In *Proceedings of the IEEE Conference on Computer Vision and Pattern Recognition* (pp. 4990-4998).

# Referencias bibliográficas

- ▶ Ma, L., Jia, X., Sun, Q., Schiele, B., Tuytelaars, T., Van Gool, L. (2017). Pose guided person image generation, in: *Advances in Neural Information Processing Systems*, pp. 406–416.
- ▶ Marvin, M., & Seymour, A. P. (1969). Perceptrons.
- ▶ Mesnil, G., Dauphin, Y., Yao, K., Bengio, Y., Deng, L., Hakkani-Tur, D., ... & Zweig, G. (2014). Using recurrent neural networks for slot filling in spoken language understanding. *IEEE/ACM Transactions on Audio, Speech, and Language Processing*, 23(3), 530-539.
- ▶ Mnih, V., Badia, A.P., Mirza, M., Graves, A., Lillicrap, T., Harley, T., Silver, D., Kavukcuoglu, K. (2016). *Asynchronous methods for deep reinforcement learning*, in: *International conference on machine learning*, pp. 1928–1937
- ▶ Mnih, V., Kavukcuoglu, K., Silver, D., Rusu, A.A., Veness, J., Bellemare, M.G., Graves, A., Riedmiller, M., Fidjeland, A.K., Ostrovski, G., et al. (2015). Human-level control through deep reinforcement learning. *Nature* 518, 529

# Referencias bibliográficas

- ▶ Nachum, O., Norouzi, M., Xu, K., & Schuurmans, D. (2017). Bridging the gap between value and policy based reinforcement learning. In *Advances in Neural Information Processing Systems* (pp. 2775-2785).
- ▶ Naraei, P., Abhari, A., & Sadeghian, A. (2016). Application of multilayer perceptron neural networks and support vector machines in classification of healthcare data. In *2016 Future Technologies Conference (FTC)* (pp. 848-852). IEEE.
- ▶ Pal, S. K., & Wang, P. P. (2017). *Genetic algorithms for pattern recognition*. CRC press.
- ▶ Park, D. H., & Chiba, R. (2017). A neural language model for query auto-completion. In *Proceedings of the 40th International ACM SIGIR Conference on Research and Development in Information Retrieval* (pp. 1189-1192).
- ▶ Panesar, A. (2019). What Is Machine Learning?. In *Machine Learning and AI for Healthcare* (pp. 75-118). Apress, Berkeley, CA.

# Referencias bibliográficas

- ▶ Partila, P., Tovarek, J., Voznak, M., Rozhon, J., Sevcik, L., & Baran, R. (2018). Multi-classifier speech emotion recognition system. In *2018 26th Telecommunications Forum (TELFOR)* (pp. 1-4). IEEE.
- ▶ Phon-Amnuaisuk, S. (2011). Learning chasing behaviours of non-player characters in games using SARSA, in: *European Conference on the Applications of Evolutionary Computation*, Springer. pp. 133–142.
- ▶ Phon-Amnuaisuk, S. (2017). What does a policy network learn after mastering a pong game?, in: *International Workshop on Multi-disciplinary Trends in Artificial Intelligence*, Springer. pp. 213–222.
- ▶ Ramchoun, H., Idrissi, M. A. J., Ghanou, Y., & Ettaouil, M. (2016). Multilayer Perceptron: Architecture Optimization and Training. *IJIMAI*, 4(1), 26-30.
- ▶ Razzak, M. I., Naz, S., & Zaib, A. (2018). Deep learning for medical image processing: *Overview, challenges and the future*. In *Classification in BioApps* (pp. 323-350). Springer, Cham.



# Referencias bibliográficas

- ▶ Rivas, A., Chamoso, P., González-Briones, A., & Corchado, J. M. (2018). Detection of cattle using drones and convolutional neural networks. *Sensors*, 18(7), 2048.
- ▶ Rodríguez, L. P., Crespo, A. G., Lara, M. P., & Mezcua, B. R. (2008). Study of different fusion techniques for multimodal biometric authentication. In *2008 IEEE international conference on wireless and mobile computing, networking and communications* (pp. 666-671). IEEE.
- ▶ Rosenblatt, F. (1958). The perceptron: a probabilistic model for information storage and organization in the brain. *Psychological review*, 65(6), 386.
- ▶ Rosenblatt, F. (1960). Perceptron simulation experiments. *Proceedings of the IRE*, 48(3), 301-309.
- ▶ Rumelhart, D. E., & McClelland, J. L. (1986). The PDP Research Group: Parallel distributed processing: Explorations in the microstructure of cognition. *Foundations*, 1, 3-44.

# Referencias bibliográficas

- ▶ Russell, S., & Norvig, P. (2002). Artificial intelligence: a modern approach.
- ▶ Sallab, A.E., Abdou, M., Perot, E., Yogamani, S. (2017). Deep reinforcement learning framework for autonomous driving. *Electronic Imaging* 2017,70–76.
- ▶ Samuel, A. L. (1959). Some studies in machine learning using the game of checkers. *IBM Journal of research and development*, 3(3), 210-229.
- ▶ Schrittwieser, J., Antonoglou, I., Hubert, T., Simonyan, K., Sifre, L., Schmitt, S., Guez, A., Lockhart, E., Hassabis, D., Graepel, T., et al. (2019). *Mastering atari, go, chess and shogi by planning with a learned model*. arXiv preprint arXiv:1911.08265
- ▶ Semeniuta, S., Severyn, A., & Barth, E. (2017). A hybrid convolutional variational autoencoder for text generation. *arXiv preprint arXiv:1702.02390*.
- ▶ Seo, J., Han, S., Lee, S., & Kim, H. (2015). Computer vision techniques for construction safety and health monitoring. *Advanced Engineering Informatics*, 29(2), 239-251.

# Referencias bibliográficas

- ▶ Shah, S. A. A., Bennamoun, M., & Boussaid, F. (2016). Iterative deep learning for image set based face and object recognition. *Neurocomputing*, 174, 866-874.
- ▶ Shin, H. C., Roth, H. R., Gao, M., Lu, L., Xu, Z., Nogues, I., ... & Summers, R. M. (2016). Deep convolutional neural networks for computer-aided detection: CNN architectures, dataset characteristics and transfer learning. *IEEE transactions on medical imaging*, 35(5), 1285-1298.
- ▶ Silver, D., Huang, A., Maddison, C. J., Guez, A., Sifre, L., Van Den Driessche, G., ... & Dieleman, S. (2016). Mastering the game of Go with deep neural networks and tree search. *nature*, 529(7587), 484.
- ▶ Silver, D., Schrittwieser, J., Simonyan, K., Antonoglou, I., Huang, A., Guez, A., Hubert, T., Baker, L., Lai, M., Bolton, A., et al., (2017). Mastering the game of go without human knowledge. *Nature* 550, 354–359

# Referencias bibliográficas

- ▶ Sledge, I.J., Príncipe, J.C. (2017). Balancing exploration and exploitation in reinforcement learning using a value of information criterion, in: *2017 IEEE International Conference on Acoustics, Speech and Signal Processing (ICASSP)*, IEEE. pp. 2816–2820.
- ▶ Tan, C. C., & Eswaran, C. (2011). Using autoencoders for mammogram compression. *Journal of medical systems*, 35(1), 49-58.
- ▶ Turing, I. B. A. (1950). Computing machinery and intelligence-AM Turing. *Mind*, 59(236), 433.
- ▶ Van Engelen, J. E., & Hoos, H. H. (2020). A survey on semi-supervised learning. *Machine Learning*, 109(2), 373-440.
- ▶ Van Hasselt, H. (2010). Double Q-learning. In *Advances in neural information processing systems* (pp. 2613-2621).

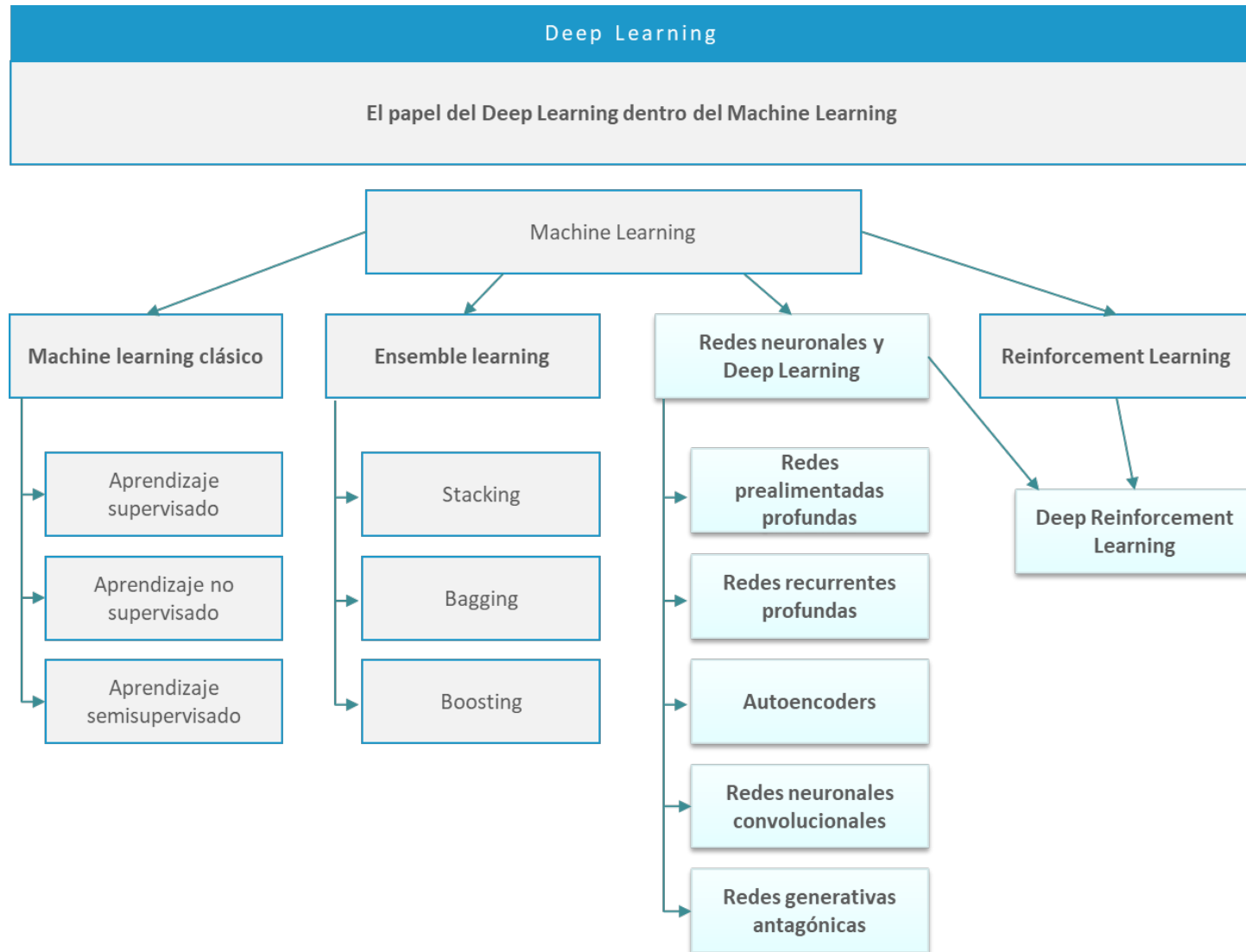
# Referencias bibliográficas

- ▶ Van Hasselt, H., Guez, A., & Silver, D. (2016). Deep reinforcement learning with double q-learning. In *Thirtieth AAAI conference on artificial intelligence*.
- ▶ Watkins, C.J., Dayan, P., 1992. Q-learning. *Machine learning* 8, 279–292
- ▶ Wu, Z., Shen, C., & Van Den Hengel, A. (2019). Wider or deeper: Revisiting the resnet model for visual recognition. *Pattern Recognition*, 90, 119-133.
- ▶ Wu, K., Wang, H., Esfahani, M. A., & Yuan, S. (2019). BND\*-DDQN: Learn to Steer Autonomously through Deep Reinforcement Learning. *IEEE Transactions on Cognitive and Developmental Systems*.
- ▶ Yasnitsky, L. N. (2019). Whether Be New “Winter” of Artificial Intelligence?. In *International Conference on Integrated Science* (pp. 13-17). Springer, Cham.

# Referencias bibliográficas

- ▶ Young, T., Hazarika, D., Poria, S., & Cambria, E. (2018). Recent trends in deep learning based natural language processing. *IEEE Computational intelligence magazine*, 13(3), 55-75.
- ▶ Zabalza, J., Ren, J., Zheng, J., Zhao, H., Qing, C., Yang, Z., ... & Marshall, S. (2016). Novel segmented stacked autoencoder for effective dimensionality reduction and feature extraction in hyperspectral imaging. *Neurocomputing*, 185, 1-10.
- ▶ Zhang, Z., Geiger, J., Pohjalainen, J., Mousa, A. E. D., Jin, W., & Schuller, B. (2018). Deep learning for environmentally robust speech recognition: An overview of recent developments. *ACM Transactions on Intelligent Systems and Technology (TIST)*, 9(5), 1-28.

# Resumen



# Gracias por vuestra atención ¿Dudas?



*Imagen por Peggy und Marco Lachmann-Anke  
Licencia: Creative Commons Zero*



UNIVERSIDAD  
INTERNACIONAL  
DE LA RIOJA

**unir**

[www.unir.net](http://www.unir.net)